

## دو رخداد آتشفشاری مجزا در ماقمایی سنوزوئیک کمان: ویژگی های زمین شیمیائی و فرایندهای سنگ زائی

### بهنام شفیعی

گروه زمین شناسی، دانشکده علوم، دانشگاه گلستان، گرگان، جمهوری اسلامی ایران

\*مسئول مکاتبات- آدرس الکترونیکی: behnam.shafiei@gmail.com

(دریافت: ۸۸/۹/۱۴؛ پذیرش: ۸۹/۸/۲۹)

### چکیده

کمان ماقمایی سنوزوئیک کرمان در پایانه جنوب شرقی کمربند آتشفشاری ارومیه- دختر مراحل تکوین و تکامل زمین ساختی و ماقمایی خود را متفاوت از بخش های مرکزی و شمال غربی این کمربند طی نموده و ماقماییسم آن حاصل فروزانش پوسته اقیانوسی تیس جوان در شرق گسل ترانسفورم نائین- بافت به زیر خرد قاره در حال چرخش ایران مرکزی و اقیانوس احاطه کننده آن بوده است. فعالیت های ماقمایی در این کمان از ابتدای ائوسن با فعالیت های آتشفشاری گسترده مجموعه های بحر آسمان و رازک آغاز گردید که سنگ های آتشفشاری این مجموعه ها ویژگی های ماقماهای اشباع از سیلیکا با ترکیب مافیک تا فلسبیک و فاقد فلدسپاتوئید و با گرایش حدواتش شبه توئلیتی- کالک آکالاین، غنی شدگی کم تا متوسط از عناصر لیتوفیل بزرگ بون، تفکیک یافته گی ضعیف تا متوسط عناصر نادر خاکی ( $\text{La/Yb} \leq 20$ )، مقادیر کمتر رادیوژنیک ایزوتوپ استرانسیوم ( $^{87}\text{Sr}/^{86}\text{Sr} = 0.7041 - 0.7049$ ) و بالا بودن اپسیلون نئودیمیوم ( $\epsilon \text{Nd} = 23 - 26$ ) را به نمایش گذاشتند. از پایان ائوسن، فعالیت های آتشفشاری در این کمان با شدت کمتری دنبال شد و تا میانه الیگوسن تداوم یافت (مجموعه هزار) که ویژگی های سنگ شناسی و زمین شیمیائی کاملاً متفاوتی را نسبت به اولین رخداد آتشفشاری به نمایش گذاشتند. سنگ های آتشفشاری رخداد دوم با ویژگی های همچون ماقماهای تحت اشباع از سیلیکا و دارای فلدسپاتوئید فراوان با گرایش شوشومنیتی، غنی شدگی قابل ملاحظه از عناصر لیتوفیل بزرگ بون، تفکیک یافته گی زیاد از عناصر نادر خاکی ( $\text{La/Yb} \geq 20$ )، مقادیر رادیوژنیک تر ایزوتوپ استرانسیوم ( $^{87}\text{Sr}/^{86}\text{Sr} = 0.7041 - 0.7056$ ) و اپسیلون نئودیمیوم پائین ( $\epsilon \text{Nd} = 11 - 12$ ) مشخص می شوند. این پژوهش نشان داد که تحول ماقمایی مشاهده شده در فعالیت های آتشفشاری پالئوژن کمان از ماهیت شبه توئلیتی- کالک آکالاین در ائوسن به شوشومنیتی در ائوسن پایانی- الیگوسن میانی می توانسته حاصل تغییر موقعیت زمین ساختی کمان از موقعیت جزیره قوسی- حاشیه قاره ای نابالغ در ائوسن به کمان ماقمایی حاشیه قاره ای معمولی در الیگوسن، تغییر در ترکیب سنگ منشا ماقمای مادر آنها (از پریدوتیت پلاژیوکلار و پیروکسن دار در ائوسن به پریدوتیت فلوگوپیت و گارنت دار در الیگوسن) بواسطه افزایش عمق ذوب ناحیه منشاء (گوه جبه ای) و همچنین دخالت بیشتر پوسته قاره ای در ماقماییسم کمان باشد.

**واژه های کلیدی:** کمان ماقمایی، کرمان، سنگ های آتشفشاری پالئوژن، زمین شیمی، سنگ زائی

### مقدمه

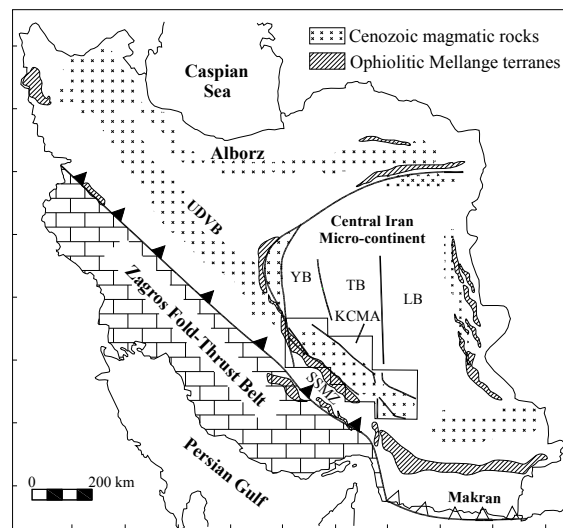
ایران زمین بطور نامنظمی توزیع شده است به گونه ای که زنجیره های آتشفشاری- نفوذی متعددی را می توان در سراسر ایران متصور شد که شکل گیری آنها نمی تواند حاصل فعال بودن فقط یک زون فروزانش در این دوران در نظر گرفته شود (شکل ۱). با توجه به رخداد این زنجیره های آتشفشاری- نفوذی در حواشی خرد صفحات (بویژه ایران مرکزی) و حضور پهنه های افیولیتی و افیولیت ملانزی در تماس بلachsen آنها (مانند نواحی کرمان، سبزوار، شرق ایران مرکزی) می توان آنها را کمان های ماقمایی مجزا، باریک و کوچک مرتبط با زون های فروزانش متعددی در نظر گرفت که مطابق الگوی ارائه شده برای تکامل اقیانوس تیس توسط (Dercourt *et al.* 1986) از اواخر مژوزوئیک تا انتهای پالئوژن به زیر خرد صفحات شکل دهنده ایران

حضور گستره خطی از افیولیت و افیولیت ملانژهای شدیداً تکتونیزه به موازات و در بلافصل جنوبی کمان ماجمایی سنوزوئیک کرمان و فقدان این سنگها در بلافصل جنوبی بخش های مرکزی و شمال باختری کمربند ارومیه- دختر (مناطق نائین- اردستان- کاشان- ساوه)، متفاوت بودن ویژگی های ژئوشیمیائی سنگ های آذربین موجود در کمربند دهچ- ساردوئیه (شرق گسل دهشیر و نائین- بافت) نسبت به سنگ های آذربین بخش مرکزی و شمالی کمربند ارومیه- دختر (بخش نائین در طرف غرب گسل دهشیر و نائین- بافت) (Ahmad & Poshtkuhi 1993) و همچنین رخداد گستره کانسراهای مسن پورفیری در کمربند دهچ- ساردوئیه نسبت به بخش مرکزی و شمالی کمربند ارومیه- دختر همگی شواهدی بر سرنوشت و شکل گیری متفاوت بخش به اصطلاح جنوب شرقی کمربند ارومیه- دختر (کمان ماجمایی سنوزوئیک کرمان) از بخش های مرکزی (نائین- اردستان- کاشان- ساوه) و شمال غربی (تکاب- سهند- ارومیه) این کمربند می باشد. با این شواهد و مطابق با الگوی فوق الذکر، کمربند دهچ- ساردوئیه کرمان را می توان یک کمان ماجمایی مجزا و باریکی در سمت شرقی گسل تقسیم کننده (گسل ترانسفورم نائین- بافت) زون فروزانش کرتاسه- پالتوژن اقیانوس اصلی تیپیس جوان و شاخه های آن به زیر خرد قاره در حال چرخش ایران مرکزی در نظر گرفت (شکل ۲) که سرنوشت و تکامل زمین ساختی و ماجمایی متفاوتی را نسبت به بخش های مرکزی و شمال باختری کمربند ارومیه- دختر تجربه کرده است.

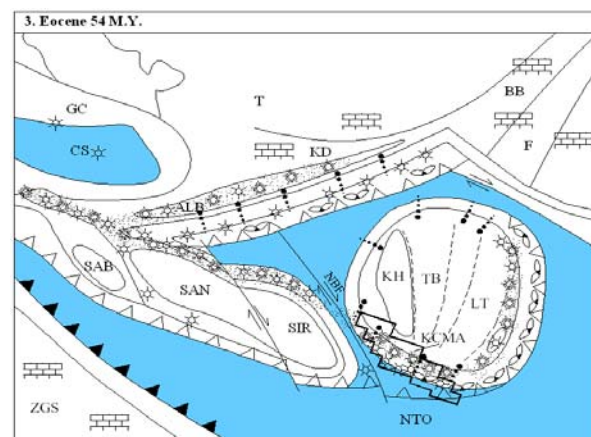
بر پایه تلفیق داده های موجود، ماجماتیسم سنوزوئیک در کمربند دهچ- ساردوئیه به صورت فعالیت های بحرآسمان و رازک (آغاز گردید و دوره ائوسن (مشهور به مجموعه های بحرآسمان و رازک) اغاز گردید و تا پایان این دوره با شدت ادامه داشت. از انتهای ائوسن شدت فعالیت آتشفسانی رو به کاهش گذاشت اما تا میانه الیگوسن این فعالیتها با شدت کمتری به صورت مجموعه هزار ادامه یافت (Dimitrijevic 1973؛ Hassanzadeh 1993). کمربند دهچ- ساردوئیه در دوره الیگوسن میانی تا میوسن پایانی یک نبود در فعالیت های آتشفسانی را تجربه می کرده است که در طی این مدت و از آن به بعد ماجماتیسم نفوذی و ساب ولکانیک عمدتاً با ترکیب حدواسط و فلزیک جای فعالیت های گستره آتشفسانی را در کمان ماجمایی گرفت.

علیرغم انجام مطالعات ارزشمند گذشته، ویژگی های زمین شیمیائی و ایزوتوپی ماجماتیسم ترشیری و تحولات ماجمایی همراه شده با تکامل زمین ساختی کمربند دهچ- ساردوئیه در مقیاس ناحیه ای مورد ارزیابی و مطالعه قرار نگرفته و در این زمینه الگوی برای این تحولات ارائه نگردیده است. مقاله حاضر برپایه داده های جدید، تحولات زمین شیمیائی مشاهده شده در فعالیت های آتشفسانی دوره پالتوژن کمان ماجمایی سنوزوئیک کرمان را آشکار نموده و فرایندهای سنگ زائی

فعال بوده اند (شکل ۲). یکی از این زنجیرهای آتشفسانی- نفوذی، کمان ماجمایی سنوزوئیک کرمان (KCMA؛ Shafei *et al.* 2009) یا همان کمربند دهچ- ساردوئیه (Dimitrijevic 1973) است که در موقعیت مکانی فعلی در حاشیه جنوبی خرد قاره ایران مرکزی جای گرفته است و در حال حاضر به عنوان پایانه جنوب شرقی کمربند ارومیه- دختر شناخته می شود (شکل ۱).



شکل ۱: پراکندگی سنگ های آذربین سنوزوئیک در گستره ایران (شکل تلفیق یافته از نقشه زمین‌شناسی ایران (Haghipour & Aghanabati 1985) و نقشه سنگ های ماجمایی ایران (Emami *et al.* 1993). به گستره مجموعه های افیولیتی در تماس با مجموعه های ماجمایی دوران سنوزوئیک ایران بویژه در اطراف خرد قاره ایران مرکزی توجه شود.



شکل ۲- توسعه کمان های ماجمایی مجزا و باریک مرتبه با فروزانش پوسته اقیانوسی نئوتیپیس از دوره ائوسن بر حاشیه خرد صفحات ایران. به موقعیت کمان ماجمایی سنوزوئیک کرمان (KCMA) بر حاشیه خرد قاره در حال چرخش ایران مرکزی و جدا بودن این کمان از بخش های مرکزی و شمال باختری کمان آتشفسانی ایران مرکزی (ارومیه- دختر) و موقعیت گسل ترانسفورم نائین- بافت (NBF) به عنوان گسل تقسیم کننده زون فروزانش توجه شود. (شکل با تغییرات جزئی از Dercourt *et al.* 1986)

فوچانی بر جای گذاشته شدند. بعد از خارج شدن این نواحی از آب (همانند دیگر نواحی ایران) و حاکم شدن شرایط خشکی زائی از ابتدای میوسن، فعالیت های گستردۀ آذرین نفوذی در کمان در دوره میوسن میانی تا پایانی جای خود را به توده های گرانیتوئیدی و در اندازه استوک و کوچکتر داد که تا سطوح کم عمق پوسته نفوذ کردند و عمدها در بخش های مرکزی و شمال باختری کمان جایگزین شدند و بدین ترتیب توده های گرانیتوئیدی تیپ کوه پنج را بدون حضور واحدهای مافیک در گستره کمان شکل دادند (شکل ۳-ب). در زمان میوسن پایانی - پلیوسن کمان ماقمایی کرمان بویژه در بخش های مرکزی تا شمال غرب جولانگاه نفوذ گستردۀ توده های ساب و لکانیک تیپ دهچ و فعالیتهای بسیار محدود آتشفشاری تیپ مزاحم و آج در چهره دو استراتوکلان و چند مخروط عمدها تا ترکیب آندزیت، داسیت، ریوداسیت و رویولیت اما بدون حضور واحدهای مافیک (بازالت) گردید. بالازدگی کمان بویژه در بخش های مرکزی تا شمال باختری و فرسایش مناطق بالازده باعث بر جای گذاشتن رسوبات تخریبی ضخیم فلیش گونه بادیزبندی شکل در زمان پلیوسن در جوار این بالازدگی ها شد (شکل ۳-ب). فعالیت های آتشفشاری مافیک آلکالین (متعلق به پلیو-کواتربر) آخرين تظاهرات از فعالیتهای آتشفشاری در کمان ماقمایی کرمان بودند که به صورت بسیار محدود و در برخی از نواحی کمان ماقمایی حادث گردیده اند (Dimitrijevic 1973 ; Hassanzadeh 1993).

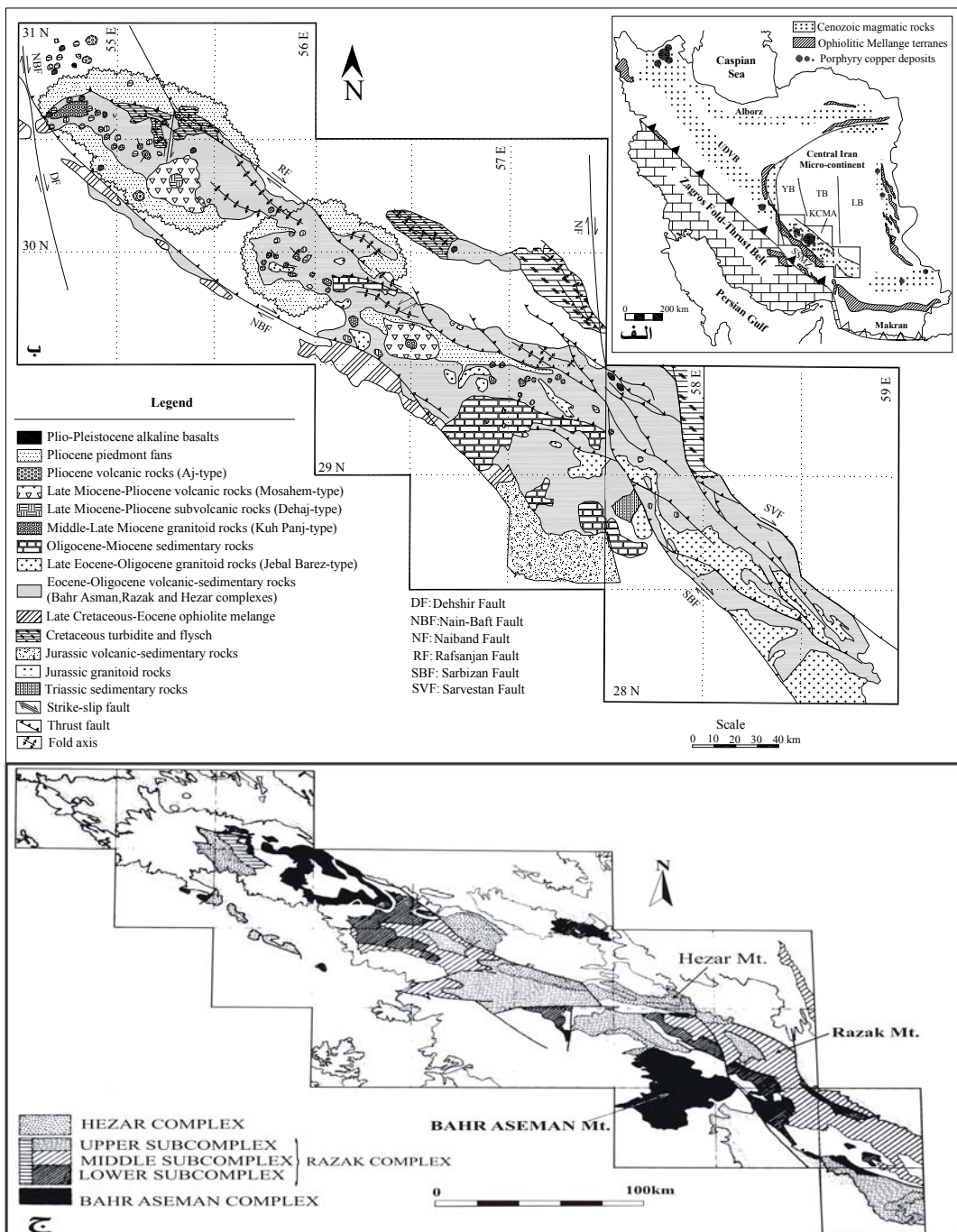
موثر در این تحولات را تبیین و تفسیر نموده است.

### زمین شناسی ناحیه ای

از لحاظ زمین شناسی ناحیه‌ای، کمان ماقمایی سنوزوئیک کرمان با درازای تقریبی ۵۰۰ کیلومتر و پهنای تقریبی ۸۰ کیلومتر با روند شمال غرب- جنوب شرق بر حاشیه جنوبی خرد قاره ایران مرکزی (بلوک سه گانه یزد- طبس- لوت) واقع گردیده است (شکل ۳-الف). به لحاظ تشکیلات سنگی سازنده کمان ماقمایی سنوزوئیک کرمان (شکل ۳-ب و شکل ۴، جدول ۱)، سنگ های آتشفشاری اوسن زیرین- میانی (مجموعه بحرآسمان) و اوسن میانی - فوچانی (مجموعه رازک) همراه با میان لایه های رسوی و سنگ های آتشفشاری ایگوسن (مجموعه هزار) مهمترین و گستردۀ ترین واحدهای زمین شناسی این کمان را به خود اختصاص داده‌اند. فعالیت های آذرین نفوذی با سطح جایگزینی ژرف که از اوسن میانی در کمان ماقمایی آغاز گردیده بود (Shafiei et al. 2008a; Rio Tinto et al. 2000-2001) با شدت زیاد در اکثر نواحی کمان همراه با فعالیت های آتشفشاری اوسن میانی - پایانی و الیگوسن میانی (مجموعه هزار) و حتی بعد از به خاموشی گراییدن فعالیت های آتشفشاری (الیگوسن میانی) تا پایان الیگوسن ادامه پیدا کرد و نتیجتاً یک گستره خطی از توده های آذرین نفوذی عمیق در نواحی جنوب خاوری تا مرکزی کمان ماقمایی شکل گرفت (شفیعی ۱۳۸۷) (شکل ۳-ب). تحت این نفوذ های متعدد و پیاپی، مجموعه های آتشفشاری - رسوی قدیمی تر تحت تاثیر چین خوردگی، گسلش، فرسایش و تخریب قرار گرفتند و در حوضه های رسوی الیگو- میوسن رسوبات تشکیلات قرمز زیرین، تشکیلات قم و تشکیلات قمز

جدول ۱: زمانبندی رخدادهای آتشفشاری در کمان ماقمایی سنوزوئیک کرمان

مرجع	روش سن سنجی	سن	مجموعه آتشفشاری
	و نوع نمونه مورداستفاده	(میلیون سال قبل)	
Hassanzadeh (1993)	$^{39}\text{Ar}$ - $^{40}\text{Ar}$ - بیوتیت	۲/۸±۰/۲	آج
	$^{39}\text{Ar}$ - $^{40}\text{Ar}$ - هورنبلد	۶/۳±۰/۹	
Hassanzadeh (1993)	$^{39}\text{Ar}$ - $^{40}\text{Ar}$ - هورنبلد	۶/۴±۰/۸	مزاحم
	$^{39}\text{Ar}$ - $^{40}\text{Ar}$ - بیوتیت	۶/۸±۰/۴	
Dimitrijevic(1973)	-----	پلیوسن	دهچ
	$^{87}\text{Rb}$ - $^{87}\text{Sr}$ - سنگ کل	۲۸/۴±۱	
Hassanzadeh (1993)	$^{39}\text{Ar}$ - $^{40}\text{Ar}$ - ساندین	۲۹/۸±۰/۴	هزار
	$^{39}\text{Ar}$ - $^{40}\text{Ar}$ - آمالسیم	۳۰/۴±۴/۱	
	$^{39}\text{Ar}$ - $^{40}\text{Ar}$ - آمالسیم	۳۲/۷±۶/۳	
Hassanzadeh (1993)	$^{39}\text{Ar}$ - $^{40}\text{Ar}$ - آلبیت	۳۷/۵±۱/۴	رازک
	$^{39}\text{Ar}$ - $^{40}\text{Ar}$ - آلبیت	۴۲/۸±۲/۶	
Dimitrijevic(1973)	-----	اوسن آغازین- میانی	بحر آسمان



شکل ۳: آلفا- موقعیت ناحیه ای کمان ماقمای سنوزوئیک کرمان (KCMA) در ایران و توسعه آن بر حاشیه جنوبی خرد قاره ایران مرکزی (منشکل از سه بلوک YB- طبس-TB- لوت LB). ب- نقشه ساده شده زمین‌شناسی کمان ماقمای سنوزوئیک کرمان و واحدهای سنگ شناسی تشکیل دهنده آن (Shafiei et al. 2009). ج- توزیع مجموعه های آتشفشاری اتوسن (بحرآسمان و رازک) و اتوسن پایانی- الیگوسن (هزار) در کمان ماقمای سنوزوئیک کرمان (با تغییرات جزئی از Dimitrijevic 1973)

های آتشفشاری دوره پالئوزن (مجموعه های بحرآسمان، رازک و هزار) انجام پذیرفت. سپس بر پایه سنجش میزان L.O.I و همچنین بهره گیری از مطالعات میکروسکوپی نهایتاً تعداد ۲۷۱ نمونه به عنوان

**روش مطالعه**  
با توجه به اهداف مطالعه، نمونه برداری صحرایی گستردگی ای از کلیه واحدهای سنگی مجموعه های آتشفشاری معرفی شده به عنوان سنگ

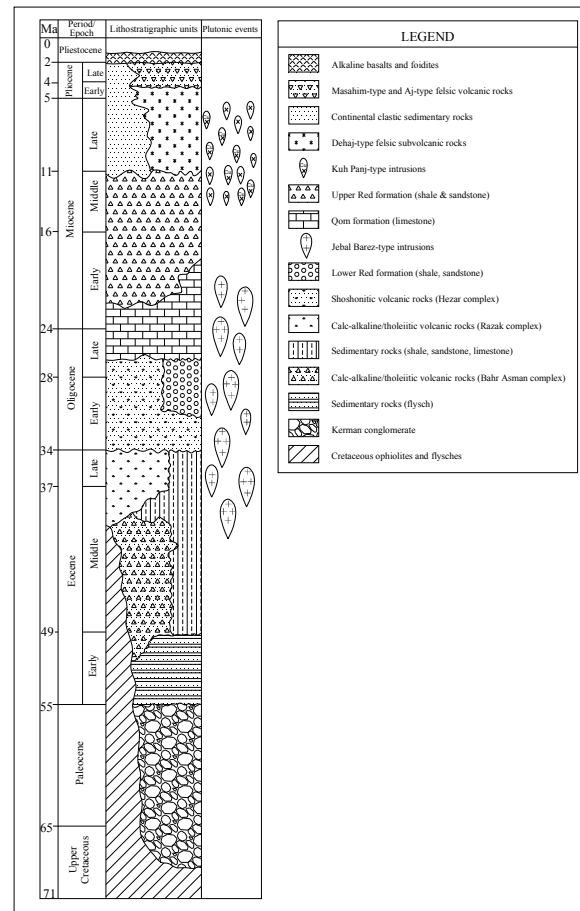
دانشکده علوم زمین، اتمسفر و سیاره انتستیتو فنی ماساچوست در کمبریج ایالت متحده آمریکا ارسال شدند. سنجش نسبت های ایزوتوپی مذکور بر روی نمونه های سنگ کل و بوسیله -GV IsoProbe- T multi-collector Thermal Ionization Mass Spectrometer ۱۴۳Nd/۱۴۴Nd و ۸۷Sr/۸۶Sr پذیرفت. نسبت های اولیه بدست آمده از ۸۷Sr/۸۶Sr و ۱۴۳Nd/۱۴۴Nd نسبت به استانداردهای اندازه گیری شده JNd-1-Ames و NBS-987 به ترتیب با مقادیر  $12 \pm 0.00014$  و  $10.240 \pm 0.00014$  میلیونی گردید. نسبت های ایزوتوپی مذکور بر روی نمونه های سنگ کل و بوسیله -GV IsoProbe- انجام گردید. سنجیده شدند. سهم شاهدهای آزمایشگاهی برای این اندازه گیری ها حدود ۳۰۰ pg برای Sr و ۱۰۰ pg برای Nd بوده است. مقادیر اندازه گیری شده برای نسبت های ایزوتوپی با استفاده از مقادیر  $119.4 \pm 0.00014$  برای ۸۷Sr/۸۶Sr و  $72.19 \pm 0.00014$  برای ۱۴۳Nd/۱۴۴Nd برآمدند. تفکیک ایزوتوپی وابسته به جرم در طیف سنج جرمی با خطای استاندارد  $0.7 \pm 0.00014$  درصد مورد تصحیح قرار گرفتند. نتایج این سنجش های ایزوتوپی در جدول ۴ آرائه شده است.

## نتایج

### ویژگی های سنگ نگاری سنگ های آتشفشنایی پالئوژن

بر پایه مطالعات میکروسکوپی، سنگ های آتشفشنایی اؤسن (مجموعه های بحرآسمان و رازک) طیف ترکیبی از بازالت تا ریولیت را نشان داده اند اما سنگ های با ترکیب آندزیت و آندزیت بازالتی فراوانترین سنگها در بین این سنگها هستند. همچنین تعداد محدودی از نمونه ها ترکیب تراکی آندزیت و تراکی آندریت بازالتی را نشان دادند. این سنگها عمدتاً دارای بافت پورفیری دانه ریز تا دانه درشت هستند. درشت بلورهای تشکیل دهنده این سنگها عمدتاً بلورهای شکل دار پلازیوکلاز از نوع آلبیت تا لابرادور به همراه کلینوپیروکسن، هورنبلندر و کمی الیوین دگرسان شده هستند. فلدسپاتوئیدها همانند آنالسیم، لئوسیت و نفلین در این سنگها شناسائی نشد. به لحاظ ترکیب نرماتیو، این سنگها دارای کوارتز و آنورتیت نرماتیو فراوان، مقادیر کمتر از ۱٪ الیوین نرماتیو و اما فاقد نفلین نرماتیو هستند. این نشان می دهد که مagmaهای سازنده این سنگها اشباع و فوق اشباع از سیلیکا بوده است. در مقابل، سنگهای آتشفشنایی اؤسن فوکانی - الیگوسن (مجموعه هزار) که عمدتاً ترکیب تراکی بازالت، تراکی آندزیت بازالتی، تراکی آندزیت، تفریت، فولیت و فنو-تفریت را نشان دادند از بلورهای درشت پیروکسن (احتمالاً اوژیت)، پلازیوکلاز نوع لابرادور، فلدسپار پتاسیم (نوع ساندین) و مقداری نفلین، آنالسیم، لئوسیت و الیوین تشکیل یافته اند. فقدان یا کمبود کوارتز در سنگهای این مجموعه نشان می دهد که مagmaهای سازنده این سنگها تحت اشباع از سیلیکا بوده است.

نمونه های معرف فعالیت های آتشفشنایی پالئوژن جهت تجزیه شیمیایی و ایزوتوپی انتخاب گردیدند.



شکل ۴: ستون چینه‌شناسی واحدهای سازنده کمان magmaئی سنوزوئیک کرمان (شفیعی ۱۳۸۷)

تجزیه شیمیایی برای اکسیدهای عناصر اصلی بروی ۱۱۲ عدد نمونه و برای عناصر فرعی و خاکی نادر بر روی ۶۲ عدد نمونه با بهره گیری از فناوریهای ICP-AES و ICP-MS توسط شرکت ALS Chemex در ونکوور کانادا انجام پذیرفت. لازم به ذکر است که حد تشخیص دستگاه برای آنالیز عناصر اصلی  $0.01 \text{ ppm}$  درصد و برای عناصر فرعی و خاکی نادر  $0.001 \text{ ppm}$  بوده است. خطای آنالیز برای عناصر اصلی، فرعی و خاکی نادر کمتر از ۲٪ بوده است. نتایج تجزیه های شیمیائی تعدادی از نمونه های معرف در جداول ۲ و ۳ آرائه شده است. همچنین تعداد ۱۸ عدد نمونه از سنگهای آتشفشنایی مافیک تا حد واسط متعلق به دوره اؤسن و اؤسن پایانی - الیگوسن به عنوان نمونه های معرف magmaتیسم دوره پالئوژن کمان magmaئی سنوزوئیک کرمان برای اندازه گیری نسبت های ایزوتوپی اولیه استرانسیوم ( $^{87}\text{Sr}/^{86}\text{Sr}$ ) و نئودیمیوم ( $^{143}\text{Nd}/^{144}\text{Nd}$ ) انتخاب گردیدند و به آزمایشگاه زمین‌شناسی ایزوتوپی و زئوشیمی

جدول ۲- نتایج تجزیه شیمیائی نمونه های سنگ های آتشفشاری اتوسون (تشکیلات بحرآسمان و رازک) در کمان مagemاتی سنوزوئیک کرمان

	BAKK-4	BAKK-5	BAKK-7	BASF-5	BASF-7	BARF-1	BARF-2	BARF-8	BASD-10	BASD-12	BASD-3	BASD-4	BASD-8	BASD-9	RABD-6
SiO <sub>2</sub>	53.32	54.23	48.12	51.30	49.27	53.61	52.32	57.81	58	54.11	52.40	57.51	55	53.31	53
TiO <sub>2</sub>	0.91	0.73	1.72	0.89	0.88	1.06	0.86	1.34	0.73	0.34	0.88	0.69	0.86	1.55	0.79
Al <sub>2</sub> O <sub>3</sub>	17.70	18.95	15.20	18.60	18.35	19	1.525	16	17.20	17.70	15.60	16.90	16.30	17.95	
Fe <sub>2</sub> O <sub>3</sub>	2.41	2.23	2.22	1.39	2.38	2.56	2.36	2.84	2.23	2.50	1.38	2.19	2.36	2.05	2.29
FeO	5.59	5.30	8.58	5.99	5.27	4.86	4.41	3.88	4.53	4.53	5.24	5.58	5.29	6.23	5.74
MnO	0.09	0.10	0.24	0.13	0.13	0.18	0.14	0.12	0.14	0.16	0.28	0.17	0.10	0.40	0.15
MgO	5.08	5.42	8.52	6.18	6.14	4.91	6.53	3.85	4.57	5.30	6.90	4.96	5.98	5.86	5.76
CaO	8.32	5.64	8.81	10.48	10.04	7.28	8.53	6.58	6.24	7.92	4.60	5.82	8.27	7.72	7.38
Na <sub>2</sub> O	3.90	4.87	2.89	1.95	3.70	4.11	3.98	3.11	3.30	2.89	4.81	4.16	3.15	2.67	3.15
K <sub>2</sub> O	0.29	1.64	1.08	0.42	0.52	0.40	1.16	2.20	1.85	1.17	1.61	0.47	0.70	2.22	1.95
P <sub>2</sub> O <sub>5</sub>	0.22	0.19	0.20	0.10	0.10	0.20	0.23	0.26	0.18	0.32	0.10	0.16	0.19	0.26	0.23
LO.I	2.59	0.88	2.06	1.90	2.10	2.72	1.44	2.32	1.25	2.72	3.81	2.28	1.30	0.92	2.42
Total	100.42	100.18	99.64	99.33	99.13	100.24	100.96	99.56	99.02	99.16	99.71	99.59	100.10	99.49	100.81
Ba	79	162	202	62	103	349	440	225	130	196	170	100	75	278	433
Rb	5	77	20	14	12	23	15	66	54	13	48	12	11	46	54
Sr	432	347	314	328	329	412	457	265	320	395	402	320	373	327	397
Y	26	27	25	17	18	31	24	61	26	36	18	25	44	21	
Zr	68	67	66	35	48	79	70	75	88	71	34	89	66	67	79
Nb	2.11	2.33	2.11	1.91	2.33	2.51	2.21	9.45	7.13	2.30	3.15	1.80	2.20	2.23	2.73
Th	0.87	1.66	1.64	0.73	0.78	1.36	1.44	7.74	6.43	3.05	0.75	1.85	4.60	8.94	4.98
Pb	8	7	5	5	5	6	5	14	6	11	5	6	5	21	6
Ni	46	56	83	92	97	47	95	56	48	72	89	44	69	76	53
V	178	130	160	181	189	192	174	139	188	128	139	143	174	123	109
Cr	60	40	59	40	72	40	60	50	39	60	70	30	50	40	
Hf	2	2	1.90	1.80	2.11	2.32	2.12	9	5.10	2.20	1.82	2.74	2.11	3.54	2.52
Cs	0.59	9.42	1.42	0.14	0.47	0.31	0.20	1.90	1.40	0.35	8.42	4.78	0.36	0.78	1.69
Ta	0.11	0.20	0.12	0.12	0.13	0.21	0.23	0.91	0.71	0.21	0.13	0.20	0.22	0.30	0.32
La	9.41	9.22	11.50	2.41	3	9.42	9.31	36.60	18.72	19.90	2.86	12.35	15	31.81	20.41
Ce	22.12	22	25.61	6.32	6.73	22.12	20.80	73.22	40.91	44	7.83	24.23	33.23	70.91	40.80
Pr	3.26	3.27	3.86	1.16	1.29	3.32	3.04	9.24	4.76	6.40	1.26	3.02	4.85	10	4.87
Nd	15.22	15.20	17.92	6.12	5.42	16	14.30	37	18.5	29.12	7.53	13.82	21	43.20	19.22
Sm	3.86	4	3.63	2.18	2.41	4.53	3.80	9.35	4.53	7.14	2.27	3.68	4.95	9.83	4.23
Eu	1.18	1.26	0.92	0.70	0.82	1.10	1.02	1.99	1.20	1.77	0.79	1.04	1.29	2.10	1.22
Gd	3.97	4.22	3.68	2.25	2.55	4.85	3.97	10.35	4.98	6.87	2.69	3.96	4.67	9.17	4.17
Tb	0.69	0.71	0.56	0.45	0.46	0.83	0.67	1.70	0.78	1.08	0.48	0.66	0.72	1.37	0.61
Dy	4.54	4.72	3.69	2.93	2.82	5.49	4.44	11.20	4.71	6.71	3.21	4.48	4.54	8.27	3.41
Ho	0.90	0.96	0.90	0.59	0.60	1.14	0.89	2.16	0.90	1.28	0.63	0.91	0.88	1.59	0.72
Er	3.07	3.01	2.15	1.96	2.09	3.01	2.23	5.37	2.83	3.12	2.13	2.89	2.56	4.28	2.14
Tm	0.44	0.47	0.30	0.26	0.30	0.53	0.42	0.72	0.36	0.59	0.31	0.34	0.42	0.73	0.32
Yb	2.84	3.07	2.49	1.68	1.79	3.39	2.66	4.63	2.68	3.73	1.96	2.36	2.61	4.61	2.11
Lu	0.43	0.48	0.36	0.24	0.28	0.50	0.38	0.55	0.35	0.56	0.31	0.33	0.39	0.70	0.36

ادامه جدول ۲: نتایج تجزیه شیمیائی نمونه های سنگ های آتشفشاری اتوسون (تشکیلات بحرآسمان و رازک) در کمان مagemاتی سنوزوئیک کرمان

	RABD-7	RABF-1	RABF-10	RABF-2	RABF-3	RABF-4	RABF-5	RADJ-10	RADJ-8	RAKK-12	RAKK-16	RAKK-4	RAKK-9	RASV-1	RASV-3	RAPZ-1
SiO <sub>2</sub>	47.91	66.50	58.7	54.2	61.90	56.40	54.43	52.1	48.38	58	59.81	56.23	62.33	52.87	51	55.37
TiO <sub>2</sub>	1.04	0.33	0.88	0.67	0.41	0.75	0.88	1.26	0.91	0.88	0.48	0.73	0.41	1.09	1.24	0.80
Al <sub>2</sub> O <sub>3</sub>	17.36	15.90	17.15	16.75	18.35	20	18.90	19.61	17.83	17.90	18.20	17.55	18.30	19.51	17.95	22.03
Fe <sub>2</sub> O <sub>3</sub>	2.54	1.83	2.38	2.17	1.91	2.25	2.38	1.76	1.41	2.38	1.48	1.23	1.23	1.19	2.14	2.29
FeO	6.10	3.02	3.69	6.15	2.86	4.56	5.87	4.12	6.81	3.67	3.13	4.26	2.89	5.28	5.06	4.44
MnO	0.19	0.07	0.14	0.15	0.06	0.06	0.18	0.14	0.20	0.17	0.13	0.12	0.15	0.16	0.11	
MgO	5.25	6.60	2.32	4.52	1.52	3.44	4.38	6.62	8.30	1.88	1.84	4.05	1.54	5.38	4.86	3.76
CaO	10.85	1.69	7.21	7.20	3.20	6.60	8.13	7.62	9.33	5.71	4.54	4.69	4.90	7.96	8.75	4.06
Na <sub>2</sub> O	2.74	6.96	3.71	3.36	7.95	4.14	2.78	2.16	2.97	3.42	4.75	3.40	3.66	2.46	3.08	3.24
K <sub>2</sub> O	3.93	0.81	1.46	1.18	0.68	1.86	0.15	1.32	1.26	2.08	2.75	4.26	2.34	1.85	1.92	
P <sub>2</sub> O <sub>5</sub>	0.35	0.15	0.12	0.11	0.12	0.13	0.19	0.27	0.23	0.22	0.31	0.20	0.12	0.19	0.22	0.21
LO.I	2.88	1.16	2.37	2.95	2.17	0.51	1.59	2.09	2.14	2.82	1.76	2.90	2.39	1.06	3.03	2.17
Total	101.14	99.02	100.13	99.41	101.13	100.70	99.86	99.07	99.77	99.13	99.18	99.63	100.23	99.43	99.34	100.40
Ba	365	320	241	447	220	455	143	271	365	419	525	501	505	303	351	822
Rb	43	12	53	38	11	48	2	73	25	68	85	174	61	25	74	87
Sr	393	405	361	494	477	454	400	313	304	349	415	381	518	377	632	446
Y	27	17	23	22	19	16	26	24	20	39	23	25	17	20	29	21
Zr	78	75	76	75	82	78	71	64	63	62	80	96	80	64	77	66
Nb	4.91	3.54	3.23	2.37	3.98	2.54	2.49	1.90	2.11	6.45	6.16	2.93	3.62	2.34	2.44	2.12
Th	5.52	4.04	2.94	3.78	4.10	2.73	1.03	2.01	3.45	7.50	11.15	10.20	4.26	1.55	3.47	6.42
Pb	12	9	12	9	10	16	10	13	7	18	18	14	10	6	11	14
Ni	21	26	39	52	35	37	43	92	98	35	45	89	58	115	101	102
V	83	44	172	140	83	105	109	184	165	93	123	156	149	299	159	179
Cr	18	15	50	40	31	33	30	66	55	30	38	60	36	90	81	59
Hf	3.12	5.12	2.51	2.42	3.43	2.53	2.23	2	1.92	4.13	3.70	2.62	2.11	2	2.16	1.90
Cs	1	2.28	2.44	1.62	2.01	2.35	0.36	1.58	5.09	1.77	2.39	4.78	9.92	0.81	1.52	1.67
Ta	0.34	0.31	0.20	0.33	0.31	0.22	0.26	0.34	0.24	0.51	0.53	0.40	0.31	0.27	0.21	0.22
La	20.82	11.80	10.81	11.11	13.21	12.32	8.32	11	13.31	24.71	29.20	23.70	13.71	8.71	15.12	16.82
Ce	42.10	24.72	22.42	23.80	27.32											

	RAPZ-8	RAPZ-9	RARY-2	RARY-3	RARY-4	RARY-7	RARY-8	RASD-1	RASD-14	RASD-2	RASD-3	RASD-4	RASD-8	RASH-12	RASH-8
SiO <sub>2</sub>	60.77	51.08	55.3	50.70	54.50	49	54	56.92	53.08	56.80	58.73	63.40	57.47	57.15	55.34
TiO <sub>2</sub>	0.64	1.07	0.81	1.11	0.78	1.11	0.99	0.72	1.56	0.82	0.55	0.56	1.06	0.71	1.01
Al <sub>2</sub> O <sub>3</sub>	18.03	19.89	18.50	19.05	19.70	18.25	18.25	18.60	18.22	16.80	18.40	15.05	17.71	19.33	18.05
Fe <sub>2</sub> O <sub>3</sub>	2.14	1.57	1.31	2.21	2.28	1.61	2.49	1.52	2.06	2.32	2.05	2.06	2.16	2.01	2.51
FeO	3.20	6	5.17	5.16	4.23	6.06	4.17	4.27	7.07	4.11	4.62	3.53	4.54	4.75	4.74
MnO	0.09	0.11	0.20	0.18	0.17	0.16	0.15	0.16	0.19	0.16	0.15	0.14	0.22	0.10	0.13
MgO	1.87	6.82	4.88	4.88	3.84	6.80	3.81	3.65	5.49	4.09	2.96	1.69	2.88	3.19	3.68
CaO	4.69	6.79	3.96	11	7.35	9.56	6.27	7.76	6.23	6.38	7	6.87	6.97	5.68	6.39
Na <sub>2</sub> O	2.84	2.70	4.01	2.35	2.99	2.15	4.27	3.06	2.71	2.68	3.83	3.19	3.51	3.90	4.93
K <sub>2</sub> O	2.88	1.08	1.86	1.23	1.46	2.04	2.71	0.66	0.24	1.68	0.64	1.68	0.74	2.24	1.20
P <sub>2</sub> O <sub>5</sub>	0.27	0.16	0.19	0.17	0.20	0.21	0.26	0.12	0.22	0.23	0.15	0.16	0.18	0.23	0.26
L <sub>2</sub> O <sub>3</sub>	1.96	1.99	2.86	2.12	2.10	2.90	1.76	1.78	2.18	4.16	2.18	2.63	2.11	1.99	1.52
Total	99.38	99.26	99.05	100.16	99.60	99.85	99.13	99.22	99.25	100.23	101.26	100.96	99.55	101.28	99.76
Ba	795	252	839	129	387	431	485	155	53	249	142	126	213	522	458
Rb	241	49	33	2	38	56	104	15	5	35	10	26	16	149	40
Sr	595	324	470	525	487	602	592	291	328	299	428	519	412	507	614
Y	27	18	27	22	23	21	32	23	40	31	21	23	29	29	25
Zr	65	40	94	66	94	53	65	69	58	70	75	63	75	61	69
Nb	6.53	1.30	2.84	2.20	2.88	1.64	2.20	2.34	1.88	2.24	2.84	7.84	2.93	7.29	2.33
Th	16.50	2.50	4.75	2.84	5.30	3.12	9.28	1.64	2.18	2.93	1.64	9.15	1.88	16.20	13
Pb	23	7	7	6	16	7	22	7	5	7	5	16	6	14	17
Ni	36	95	79	121	66	103	91	89	90	97	38	25	26	39	88
V	128	185	128	220	177	296	205	151	197	144	97	45	110	103	187
Cr	21	56	59	69	40	86	58	61	52	66	30	20	19	28	63
Hf	5.80	1.22	2.7	1.82	2.7	1.50	1.91	2	1.86	2	16.22	4.53	2.61	5.33	2.13
Cs	6.94	2.34	2.56	0.85	0.93	1.48	1.08	0.53	0.48	1	0.41	0.65	0.35	1.98	0.28
Ta	0.72	0.22	0.33	0.24	0.30	0.34	0.33	0.23	0.26	0.37	0.22	0.70	0.37	0.62	0.23
La	31	12.21	18.62	11.42	16.90	17.51	20.31	8.60	10.81	12.11	8.62	22.81	14.71	33.80	29.03
Ce	61	23.73	38.80	24.33	34	28.12	44.51	19	25.42	28.30	19.92	43.60	28.32	66.61	57.09
Pr	7.15	3.16	4.94	3.18	4.32	3.89	5.72	2.73	3.58	3.86	2.72	5.33	3.94	7.82	6.70
Nd	26.66	13.82	20.23	13.62	17.21	16.33	23.10	12.63	16.60	16.90	12	20.11	16	30.63	26.11
Sm	5.35	3.58	4.75	3.81	3.99	3.50	5.31	3.27	5.23	4.49	3.26	4.11	3.90	6.10	5.32
Eu	1.31	1.01	1.25	1.07	1.16	0.95	1.32	0.89	1.42	1.24	0.84	0.93	1.07	1.46	1.26
Gd	5.37	3.61	5	3.64	4.19	3.41	5.41	3.47	6.07	4.81	3.22	3.91	4.61	5.71	5.02
Tb	0.84	0.57	0.76	0.61	0.64	0.62	0.91	0.61	1.14	0.80	0.52	0.60	0.80	0.87	0.75
Dy	4.69	3.26	4.45	3.62	3.72	3.52	5.34	4.10	7.10	4.88	3.27	3.83	4.95	4.95	4.21
Ho	1	0.68	1.02	0.80	0.81	0.72	1.16	0.83	1.53	1.06	0.71	0.79	1.10	1	0.89
Er	2.96	1.88	2.85	2.31	2.28	2.12	3.35	2.53	4.45	3.16	2.16	2.52	3.13	3.13	2.60
Tm	0.43	0.28	0.43	0.34	0.36	0.31	0.52	0.40	0.64	0.50	0.32	0.39	0.45	0.45	0.36
Yb	2.93	1.72	2.83	2.26	2.27	1.94	3.23	2.60	4.16	3.20	2.06	2.63	2.94	2.99	2.51
Lu	0.46	0.27	0.45	0.36	0.38	0.30	0.53	0.39	0.65	0.53	0.31	0.41	0.48	0.48	0.37

جدول ۳: نتایج تجزیه شیمیائی نمونه های سنگ های آتشفشاری الیگوسن (تشکیلات هزار) در کمان ماقمای سنوژوئیک کرمان

	HCY-4	HCY-9	HCSH-1	HCSH-2	HCSH-3	HCSH-8	HCDJ-2	HCDJ-3	HCAN-1	HCAN-3	HCAN-4	HCBD-1	HCBD-2	HCCH-1	HCCH-2
SiO <sub>2</sub>	53.68	56.82	65.72	55.60	57.66	56.34	52.4	53.51	54.89	57.03	52.57	51.88	55.09	54.89	51.69
TiO <sub>2</sub>	0.91	1.09	0.45	0.72	0.59	1.01	0.75	0.65	0.42	0.61	0.66	0.87	0.65	0.29	
Al <sub>2</sub> O <sub>3</sub>	19.98	16.99	17.06	17.56	18.05	18.05	18.50	19	19.20	17.56	20.25	18.32	19	19.94	16.59
Fe <sub>2</sub> O <sub>3</sub>	4.41	4.59	1.95	3.22	3.22	3.51	3.25	3.25	3.15	2.92	3.11	2.63	3.15	4.74	
FeO	2.47	2.70	2.52	2.60	1.89	2.74	1.65	1.57	2.18	2.41	2.36	1.77	1.09	1.38	2.39
MnO	0.17	0.16	0.07	0.10	0.10	0.13	0.11	0.10	0.08	0.09	0.12	0.32	0.10	0.16	0.60
MgO	5.92	4.98	0.66	4.44	3.46	3.68	4.56	4.52	3.77	2.94	4.98	4.96	3.89	3.49	6.51
CaO	5.07	5.25	1.58	5.77	4.95	6.39	4.50	4.75	4.61	2.84	6.15	6.99	4.89	4.26	8.52
Na <sub>2</sub> O	0.24	2.88	2.77	4.04	4.34	1.20	4.09	4.30	4.31	4.58	3.51	3.59	4.31	4.05	2.25
K <sub>2</sub> O	3.17	4.92	4.48	4.56	5.28	4.93	5.97	4.52	4.56	6.72	4.32	5.37	5.98	5.37	3.62
P <sub>2</sub> O <sub>5</sub>	0.15	0.21	0.19	0.31	0.32	0.56	0.25	0.27	0.28	0.21	0.30	0.27	0.28	0.30	0.14
L <sub>2</sub> O <sub>3</sub>	2.34	2.02	2.21	1.18	1.52	1.59	4.10	3.53	2.59	2.56	2.50	2.93	2.09	2.69	2.25
Total	100.70	102.61	99.66	100.10	101.38	100.13	100.13	100.07	100.27	100.28	100.78	99.69	100.22	100.33	99.59
Ba	1120	1452	281	1253	1260	458	1230	1220	1205	1045	1225	1205	1232	1126	1212
Rb	314	298	301	321	287	40	296	331	296	390	268	297	318	327	288
Sr	899	955	237	1323	814	614	980	828	737	382	1170	937	998	1067	986
Y	25	31	38	30	25	25	27	26	25	22	25	25	22	28	27
Zr	80	86	796	70	82	189	73	66	90	82	70	87	91	90	79
Nb	9	9.30	21.73	7.87	9.74	9.33	8.23	7.87	7.88	6.64	7	8.32	7.24	6.93	10
Th	18	1.22	35	17.05	15.80	13	18.05	17.75	14.70	16.40	18	14	18.33	12	18.05
Pb	28	25	27	14	28	17	29	29	27	29	26	22	29	15	22
Ni	39	38	70	41	28	18	112	51	61	37	90	99	42	39	109
V	128	122	48	108	86	187	180	132	61	134	180	160	120	169	
Cr	33	32	80	30	12	40	62	30	50	20	69	89	30	25	82
Hf	4	3	17.42	6.76	5.20	4.61	4.62	4.52	4.5	4.74	4.22	4	4.62	7	4.61
Cs	7.30	9	7.59	8.31	6.66	0.28	8.25	9.90	7.15	9.60	9.14	10	8.90	7.41	8.98
Ta	0.51	0.30	1.34	0.70	0.61	0.52	0.70	0.74	0.71	0.81	0.71	0.92	0.74	0.50	0.33
La	33	39	46.80	35.20	39.10	29.31	35.70	35.50	41.7	52.62	36	33.90	35	40	39.80
Ce	69	70	90.91	69.71	71	57.12	68.42	67.42	73	83.6	69	66	78	64.92	
Pr	7.30	9.90	10.15	8.02	9.08	6.70	7.93	7.84	9.33	11.74	7.98	7.39	8	9.90	7.98
Nd	28	33	37	31.30	34.91	26.10	29.41	29.60	32.51	38	32	28.5			

جدول ۴- مقادیر نسبت‌های اولیه  $\text{Sr}^{87}/\text{Sr}^{86}$  و  $\text{Nd}^{143}/\text{Nd}^{144}$  در نمونه‌های انتخاب شده از سنگ‌های آتشفشنای ائوسن و الیگوسن کمان مامگانی سوزن‌وئیک کرمان.

Sample	$\text{Sr}^{87}/\text{Sr}^{86}$	% std err.	$\text{Nd}^{143}/\text{Nd}^{144}$	% std err.	$\epsilon\text{Nd}$
BAKK-7	۰/۷۰۴۶۱۹	۰/۰۰۰۷	۰/۵۱۲۸۰۷	۰/۰۰۰۰۵	۲/۵۶
BASF-7	۰/۷۰۴۲۷۱	۰/۰۰۰۶	۰/۵۱۲۸۶۶	۰/۰۰۰۰۶	۴/۶۱
HCDJ-2	۰/۷۰۴۸۶۸	۰/۰۰۰۵	۰/۵۱۲۷۹۳	۰/۰۰۰۰۳	۳/۲۷
RADJ-8	۰/۷۰۴۸۰۵	۰/۰۰۰۶	۰/۵۱۲۷۵۹	۰/۰۰۰۰۵	۲/۶۲
RASV-3	۰/۷۰۴۸۹۵	۰/۰۰۰۷	۰/۵۱۲۷۷۸	۰/۰۰۰۰۲	۲/۹۹
BASD-9	۰/۷۰۴۴۴۶	۰/۰۰۰۶	۰/۵۱۲۹۰۶	۰/۰۰۰۰۴	۵/۶۰
BARF-2	۰/۷۰۴۰۷۲	۰/۰۰۰۷	۰/۵۱۲۸۹۱	۰/۰۰۰۰۵	۵/۱۸
RAPZ-9	۰/۷۰۴۹۳	۰/۰۰۰۶	۰/۵۱۲۷۴۵	۰/۰۰۰۰۴	۲/۳۵
RASH-12	۰/۷۰۴۲۹۸	۰/۰۰۰۵	۰/۵۱۲۸۵۱	۰/۰۰۰۰۲	۴/۶۱
HCAN-1	۰/۷۰۵۶۱۷	۰/۰۰۰۱	۰/۵۱۲۷۱۳	۰/۰۰۰۰۴	۱/۹۵
RABF-5	۰/۷۰۴۰۳۳	۰/۰۰۰۶	۰/۵۱۲۸۵۲	۰/۰۰۰۰۵	۳/۷۲
RASD-14	۰/۷۰۴۴۱۸	۰/۰۰۰۷	۰/۵۱۲۹۱۳	۰/۰۰۰۰۲	۴/۶۲
BASD-3	۰/۷۰۴۴۶۵	۰/۰۰۰۵	۰/۵۱۲۹۹۶	۰/۰۰۰۰۴	۶
RAKK-4	۰/۷۰۴۴۸۱	۰/۰۰۰۶	۰/۵۱۲۸۲۲	۰/۰۰۰۰۶	۳/۲۸
HCSH-3	۰/۷۰۵۰۲۶	۰/۰۰۰۵	۰/۵۱۲۸۸۱	۰/۰۰۰۰۵	۱/۰۲
HCSH-14	۰/۷۰۴۱۲۳	۰/۰۰۰۷	۰/۵۱۲۸۱۹	۰/۰۰۰۰۴	۳/۲۵
HCBD-3	۰/۷۰۵۰۲۳	۰/۰۰۰۶	۰/۵۱۲۷۳۰	۰/۰۰۰۰۶	۱/۷۱
HCRY-4	۰/۷۰۵۰۰۱	۰/۰۰۰۷	۰/۵۱۲۸۴۱	۰/۰۰۰۰۳	۲/۹۷

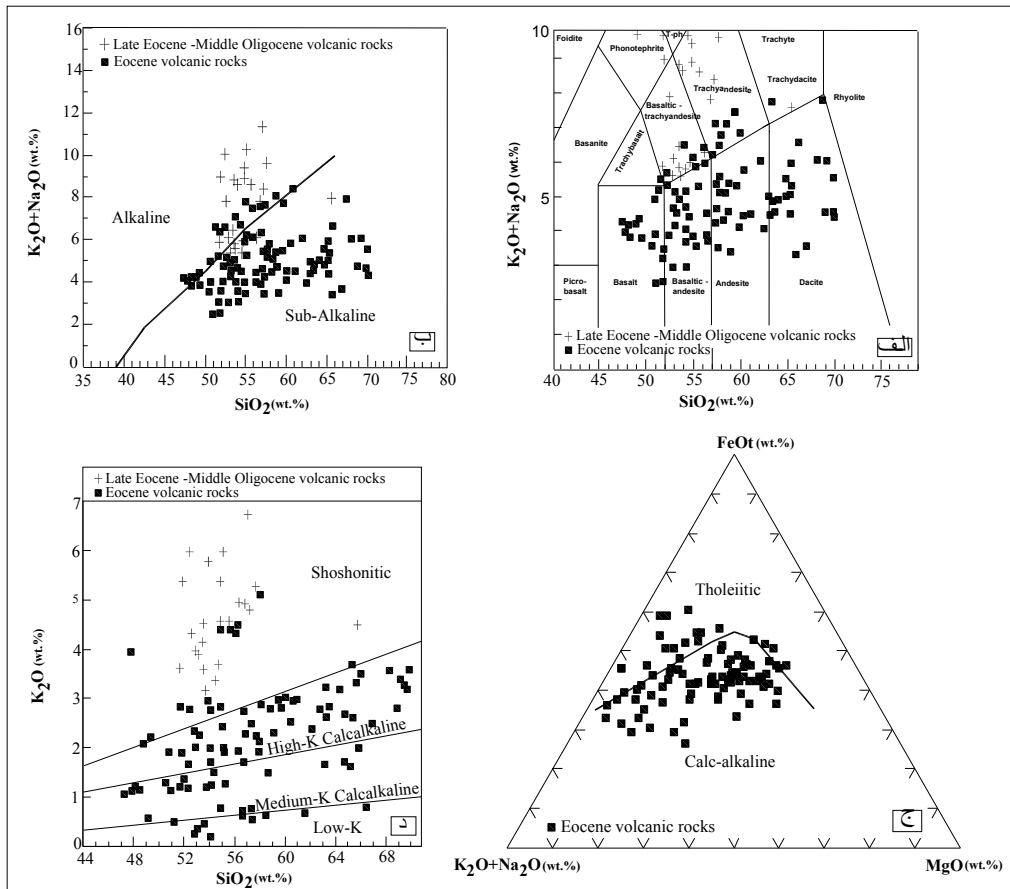
تراکی آندزیت واقع شده اند؛ اما برتری سنگ‌شناسی با سنگ‌های آندزیتی و آندزیت بازالتی است. مطابق همین نمودار، سنگ‌های آتشفشنای ائوسن پایانی- الیگوسن ترکیب شیمیائی متفاوتی را نسبت به سنگ‌های آتشفشنای ائوسن به نمایش گذاشته اند و عمدتاً در محدوده سنگ‌های تراکی- بازالت، تراکی- آندزیت بازالتی، تراکی- آندزیت، و فنولیت‌ها قرار گرفته اند (شکل ۵-الف). برپایه استفاده از Irvin &  $\text{SiO}_2$  نمودار مجموع آلکالین ( $\text{K}_2\text{O}+\text{Na}_2\text{O}$ ) در مقابل (Baragar 1971) بخش عمده سنگ‌های آتشفشنای دوره ائوسن در محدوده سنگ‌های آتشفشنای سری ساب آلکالین قرارگرفته‌اند و در مقابل سنگ‌های آتشفشنای دوره ائوسن پایانی- الیگوسن در محدوده سنگ‌های آتشفشنای سری آلکالین واقع شده اند (شکل ۵-ب). برپایه نمودار AFM (Irvin & Baragar 1971) سنگ‌های آتشفشنای ساب آلکالین دوره‌های ائوسن عمدتاً در محدوده کالک آلکالین قرار گرفته‌اند؛ هرچند که تعدادی از نمونه‌ها در مرز بین سری‌های مامگانی کالک آلکالین و تولئیتی و تعدادی در محدوده سری تولئیتی واقع شده اند (شکل ۵-ج). برپایه استفاده از نمودار  $\text{K}_2\text{O}-\text{SiO}_2$  (Peccerillo & Taylor 1976) سنگ‌های آتشفشنای ائوسن عمدتاً در محدوده سری کالک آلکالین با پتاسیم متوسط تا زیاد و کمتر در محدوده سنگ‌های آلکالین یعنی شوشوونیتی واقع شده‌اند (شکل ۵-د). در مقابل سنگ‌های آتشفشنای ائوسن پایانی- الیگوسن همگی در محدوده سری شوشوونیتی واقع شده‌اند (شکل ۵-ه). ضمناً (1993) Hassanzadeh، سنگ‌های آتشفشنای وابسته به مجموعه هزار را در ناحیه شهریابک جزء سری شوشوونیتی معرفی کرده است. در تائید این مطلب، مقادیر محاسبه شده برای فاکتور غنی‌شدگی آهن نشان می‌دهد که سنگ‌های آتشفشنای مافیک تا حدود ۰.۵٪ الی ۰.۷٪ آهن کمتر از الیگوسن از غنی‌شدگی آهن کمتر نسبت به سنگ‌های آتشفشنای ائوسن برخوردار هستند و عمدت نمونه‌ها غنی‌شدگی آهن کمتر از ۱

## ویژگی‌های زمین شیمیائی سنگ‌های آتشفشنای پالئوژن زمین شیمی عناصر اصلی

سنگ‌های هر دو رخداد آتشفشنای پالئوژن دامنه گسترده‌ای از میزان  $\text{SiO}_2$  (۴۷-۷۲ درصد وزنی) را به نمایش گذاشته اند و از مافیک تا فلزیک گسترده شده اند. میزان  $\text{K}_2\text{O}/\text{Na}_2\text{O}$  در سنگ‌های مافیک تا حدوداً سط ائوسن پایانی- الیگوسن (۱-۲/۶) بطور قابل ملاحظه‌ای بالاتر از مقدار این نسبت در سنگ‌های آتشفشنای هم ارز در دوره ائوسن (۱/۱-۱/۸) می‌باشد. این نشان می‌دهد که سنگ‌های آتشفشنای ائوسن پایانی- الیگوسن پتاسیک هستند و سنگ‌های آتشفشنای دوره ائوسن از پتاسیم و سدیم به میزان متوسطی برخوردارند. مقادیر محاسبه شده برای فاکتور غنی‌شدگی آهن ( $\text{FeO}+0.9 \times [\text{Fe}_2\text{O}_3]$ ) نشان می‌دهد که سنگ‌های آتشفشنای مافیک ائوسن (۱/۹-۱/۵) از غنی‌شدگی آهن بیشتری نسبت به سنگ‌های آتشفشنای هم ارز در دوره ائوسن پایانی- الیگوسن (۰/۷-۰/۳) برخوردارند. در مقابل، فاکتور اکسیداسیون آهن ( $\text{Fe}_2\text{O}_3/\text{FeO}$ ) در سنگ‌های آتشفشنای ائوسن پایانی- الیگوسن (۰/۸-۰/۲) بسیار بالاتر از سنگ‌های آتشفشنای هم ارز در دوره ائوسن (۰/۰-۰/۲) می‌باشد. همچنین عدد منیزیوم از غنی‌شدگی آهن در دوره ائوسن (۰/۷-۰/۳) در سنگ‌های آتشفشنای مافیک و حدوداً سط ائوسن پایانی- الیگوسن (۰/۷-۰/۷) بالاتر از واحدهای میزان میانگین تیتانیوم آنها از ۱/۱۲ تا ۱/۹۵ متفاوت است که میزان  $\text{Al}_2\text{O}_3$  برخوردارند. همچنین بوده و از حداقل ۱۲ تا ۲۲ درصد وزنی  $\text{Al}_2\text{O}_3$  می‌باشد. سنگ‌های آتشفشنای مافیک تا حدود از هر دو گروه سنی از نظر میزان آلومینیوم غنی‌بوده و از حداقل ۱۲ تا ۲۲ درصد وزنی  $\text{Al}_2\text{O}_3$  برخوردارند. همچنین میزان میانگین تیتانیوم آنها از ۰/۰-۰/۱۲ متفاوت است که میزان  $\text{SiO}_2$  در مقابل  $\text{K}_2\text{O}+\text{Na}_2\text{O}+[\text{FeO}+0.9 \times \text{MgO}]/\text{MgO}$  (Le Maittre et al. 1989) در سنگ (Le Maittre et al. 1989) میانگین تیتانیوم آنها از ۰/۱۲ تا ۰/۱۶ متفاوت است. به لحاظ ترکیب شیمیائی و بر پایه استفاده از نمودار  $\text{K}_2\text{O}-\text{Na}_2\text{O}$  (شکل ۵-الف) سنگ‌های آتشفشنای ائوسن از بازالت تا ریولیت گسترده شده اند و تعداد محدودی از نمونه‌ها در محدوده سنگ‌های تراکی آندزیت بازالتی و

مربوط به سنگ های آتشفشاری دوره ائوسن شاید با بالاتر بودن میزان آهن کُل و همچنین بالاتر بودن فاکتور غنی شدگی آهن آنها و نتیجتاً ماهیت شبه تولیتی آنها قابل تائید باشد.

نشان داده اند. همچنین مقادیر نسبت  $\text{Fe}_2\text{O}_3/\text{FeO}$  (Morrison 1980) همگی آنها بالاتر از  $0.5$  (میانگین بالاتر از  $1$ ) می باشد. این مطلب نشان می دهد که سنگ های آتشفشاری ائوسن پایانی - الیگومن ماهیت شوшуونیتی دارند. در مقابل، ماهیت پتاسیم پائین برخی از نمونه های



شکل ۵- تعیین ترکیب شیمیائی (نمودار پایه شماره الف از Le Maitre *et al.* 1989) و سری ماجمایی (نمودار پایه شماره ب و ج بترتیب از Irvin & Peccerillo & Taylor 1976 و Baragar 1971) سنگ های آتشفشاری پالئوژن کمان ماجمای سنوزوئیک کرمان

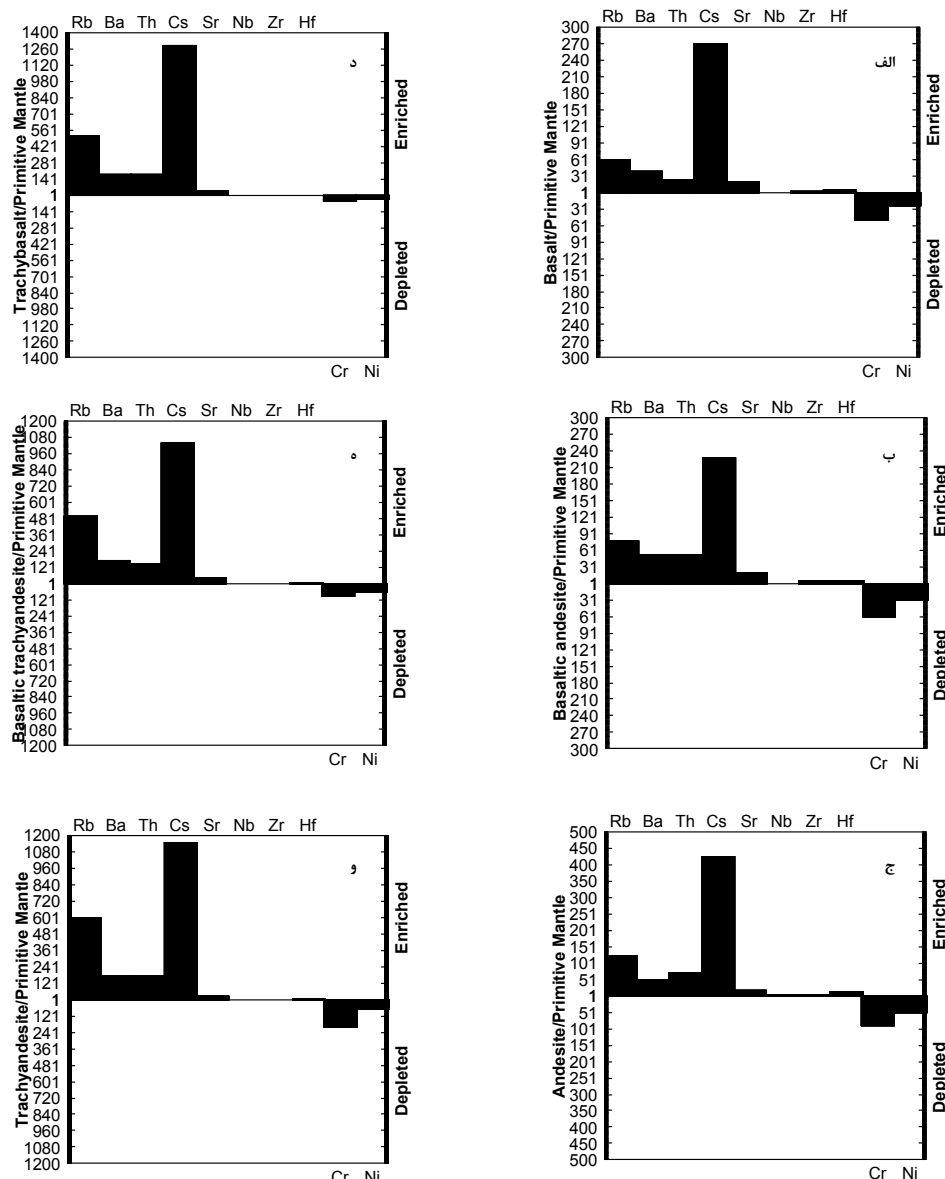
دو دوره است (شکل ۶). تفاوت دیگر این سنگها مقادیر بسیار بالاتر  $\text{Sr}$  و مقادیر بسیار کمتر  $\text{Y}$  آنها ( $\text{Y}=10-21 \text{ ppm}$ ) ( $\text{Y}=382-1323 \text{ ppm}$ ) نسبت به سنگ های آتشفشاری دوره ائوسن ( $\text{Y}=312 \text{ ppm}$ ) می باشد. نمودار عنکبوتی ارائه شده برای سنگ های آتشفشاری از هر دو رخداد نشانده آنومالی منفی عناصر  $\text{HFSE}$  (Ta, Nb, Ti) در آنها است. همچنین سنگ های آتشفشاری ائوسن پایانی - الیگومن غنی شدگی بیشتری از عناصر لیتوفیل بزرگ یون (Sr, Ba, Rb, Cs) در مقایسه با سنگ های آتشفشاری ائوسن نشان داده اند (شکل ۷). برایه نمودار  $\text{Y}/\text{Zr}$  در مقابل Pearce (1983) سنگ های آتشفشاری ائوسن در محیط زمین ساختی حدواسط کمان های ماجمایی اقیانوسی و کمان های حواشی قاره ها فوران نموده اند (شکل ۸-الف)؛ یعنی در ارتباط با فرورانش هستند. در همین نمودار، سنگ های

### زمین شیمی عناصر فرعی

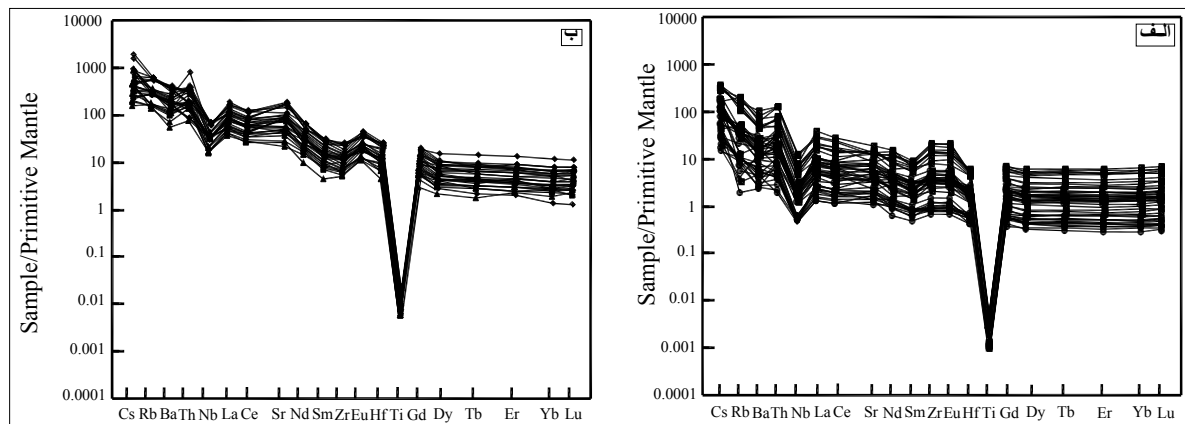
بررسی توزیع عناصر فرعی در سنگ های آتشفشاری پالئوژن کمان ماجمای سنوزوئیک کرمان که مقادیر آنها نسبت به جبهه اولیه هنجار شده است نشان از غنی شدگی همه این سنگها از عناصر عناصر لیتوفیل بزرگ یون (Sr, Ba, Th, Cs, Rb) و به میزان بسیار ناچیزی (Ta, Hf, Zr, Nb) با شدت میدان زیاد زیاد غنی شدگی از عناصر ناسازگار با شدت میدان زیاد (Ta, Hf, Zr, Nb) دارد اما همه این سنگها نسبت به جبهه اولیه از عناصر سازگار ماجمایی تهی شدگی نشان داده اند و میزان تهی شدگی از این عناصر به طرف سنگ های آتشفشاری حدواسط و فلزیک بیشتر بوده است (شکل ۶). غنی شدگی چشمگیر سنگ های آتشفشاری ائوسن پایانی - الیگومن از عناصر لیتوفیل بزرگ یون نسبت به سنگ های آتشفشاری دوره ائوسن نیز از تفاوت های مهم زمین شیمیائی بین سنگ های آتشفشاری این

سنوزوئیک کرمان در دوره ائوسن، Shahabpour (2007) نشان داده است که سنگ های آتشفشنی و نفوذی کمربند آتشفشنی ایران مرکزی (کمربند ارومیه- دختر) ویژگی های زمین شیمیائی مagmaهای خاص جزایر قوسی را به نمایش گذاشته اند. مشخص شدن موقعیت جزیره قوسی برای سنگ های آتشفشنی ائوسن نشان می دهد که کمان magmaهای سنوزوئیک کرمان می توانسته در ابتدا به صورت جزیره قوسی شکل گرفته باشد و در دوره های بعدی به تناسب تغییر شرایط تکتونیکی و ضخامت پوسته به جایگاه تکتونیکی دیگری تغییر موقعیت دهد.

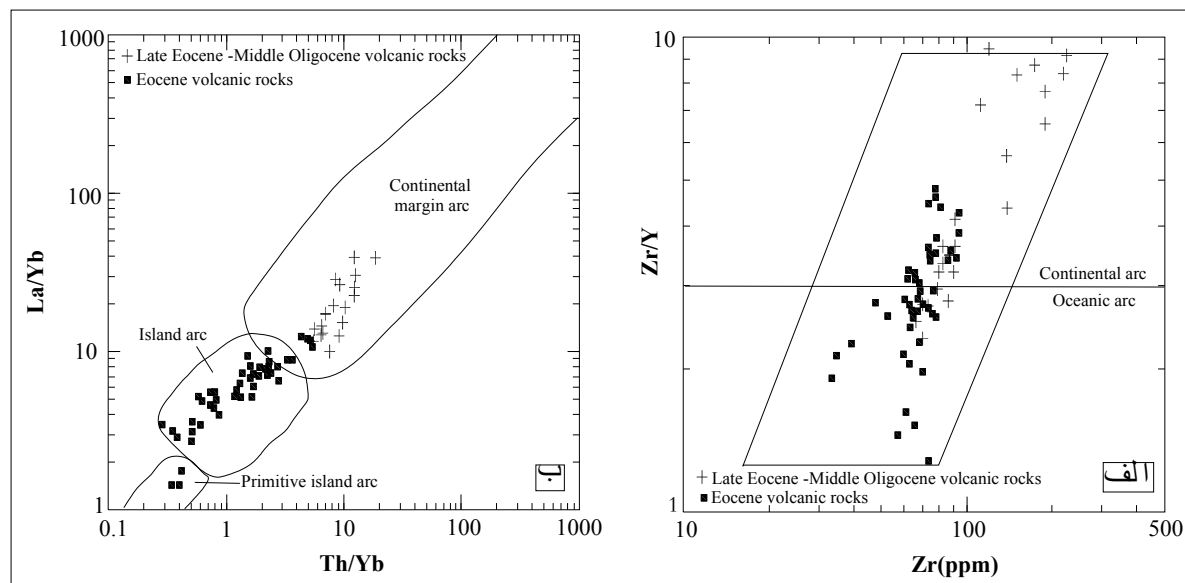
آتشفشنی ائوسن پایانی- الیگوسن به وضوح در محیط کمانهای magmaهای حاشیه قاره‌ای فرارگرفته‌اند (شکل ۸-الف). موقعیت زمین ساختی مرتبط با فرورانش این سنگها با الگوی مشاهده شده در نمودار عنکبوتی هر دو رخداد آتشفشنی پالئوزن (شکل ۷) که خاص magmaهای منشاء گرفته از نواحی فرورانش معرفی شده اند نیز قابل تأیید است. نمودار La/Yb در مقابل Th/Yb (Condi 1989) نشان داد که سنگ های آتشفشنی شبه تولیتی- کالک آکالین ائوسن عمدهاً متعلق به محیط جزایر قوسی و سنگ های آتشفشنی شوشونیتی دوره ائوسن پایانی- الیگوسن متعلق به کمانهای magmaهای حاشیه قاره‌ای می باشند (شکل ۸-ب). در تأیید موقعیت جزیره قوسی کمان magmaهای باشند (شکل ۸-ب).



شکل ۶- مقایسه میزان غنی شدگی و تهی شدگی عناصر فرعی در میانگین انواع سنگ‌های آتشفشنی ائوسن (الف-ب-ج) و ائوسن پایانی- الیگوسن (δ-θ-ι) نسبت به منبع جبه اولیه بر پایه داده‌های Sun & McDonough (1989)



شکل ۷: نمودارهای عنکبوتی معرف الگوی تغییرات عناصر فرعی در سنگ‌های آتشفشاری پالئوژن کمان magma می سنو زوئیک کرمان که نسبت به داده‌های منبع جبه اولیه هنجار شده‌اند (داده‌های منبع جبه اولیه از Sun & McDonough 1989). به آنومالی منفی عناصر Nb, Ti در هر دو گروه سنگ‌های آتشفشاری و غنی شدگی بیشتر سنگ‌های اتوسون پایانی-الیگوسن از عناصر لیتوфیل بزرگ یون (Sr, Ba, Rb, Cs) نسبت به سنگ‌های اتوسون توجه شود.



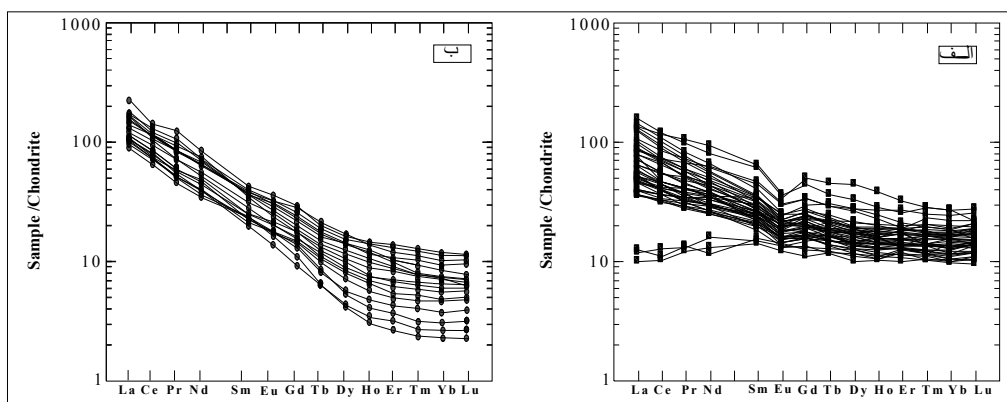
شکل ۸: تعیین محیط زمین ساختی سنگ‌های آتشفشاری پالئوژن کمان magma می سنو زوئیک کرمان (نمودارهای پایه برتری از Pearce 1983 و Condi 1989)

سنگین اما بدون آنومالی منفی برای Eu ( $\text{Eu}/\text{Eu}^{*} \geq 1$ ) را به نمایش گذاشته‌اند (شکل ۹-ب). همچنین به لحاظ عددی، میزان غنی شدگی از عناصر خاکی نادر سبک (La/Sm) و تهی شدگی از عناصر خاکی نادر متوسط (Sm/Yb) و سنگین (Gd/Yb) به همراه تکیک شدگی از گل عناصر خاکی نادر (La/Yb) و تغییرات آنومالی یوروپیوم در سنگ‌های آتشفشاری کمان magma می سنو زوئیک کرمان محسوس شده و به صورت نسبت‌های نشان داده شده‌اند (شکل ۸). غنی شدگی از عناصر سبک (La/Sm=۴-۸) در سنگ‌های آتشفشاری اتوسون پایانی-الیگوسن بسیار بیشتر از سنگ‌های آتشفشاری اتوسون (La/Sm=۲-۵) بوده است. در مقابل سنگ‌های آتشفشاری اتوسون پایانی-الیگوسن از تهی شدگی بیشتری از عناصر خاکی نادر متوسط (Sm/Yb=۲-۸) و سنگین (۸-۸)

**زمین شیمی عناصر نادر خاکی**  
نمودارهای روند تغییرات فراوانی عناصر نادر خاکی در سنگ‌های آتشفشاری اتوسون دو الگوی مجزا را به نمایش گذاشته‌اند (شکل ۹-الف). یک الگو که روند نسبتاً مسطح تا کمی صعودی با شبیه بسیار کم در فراوانی عناصر خاکی سبک بدون آنومالی منفی برای Eu و روند نسبتاً مسطح برای عناصر خاکی نادر سنگین را نشان می‌دهد و الگوی دیگر که روند نزولی با شبیه کم تا متوسط برای عناصر خاکی نادر سبک با آنومالی منفی Eu و روند نسبتاً مسطح برای عناصر خاکی نادر سنگین را به نمایش گذاشته است (شکل ۹-الف). سنگ‌های آتشفشاری مافیک تا حد واسطه اتوسون پایانی-الیگوسن الگویی با روند شبیه متوسط تا زیاد منفی برای عناصر سبک و روند نزولی با شبیه متوسط برای عناصر

کرمان می‌توان نتیجه گرفت که تفکیک شدگی عناصر خاکی نادر از فعالیت‌های آتشفسانی دوره ائوسن ( $\text{La/Yb}=12\text{--}20$ ) به طرف دوره ائوسن پایانی-الیگوسن ( $\text{La/Yb}=20\text{--}52$ ) افزایش یافته است.

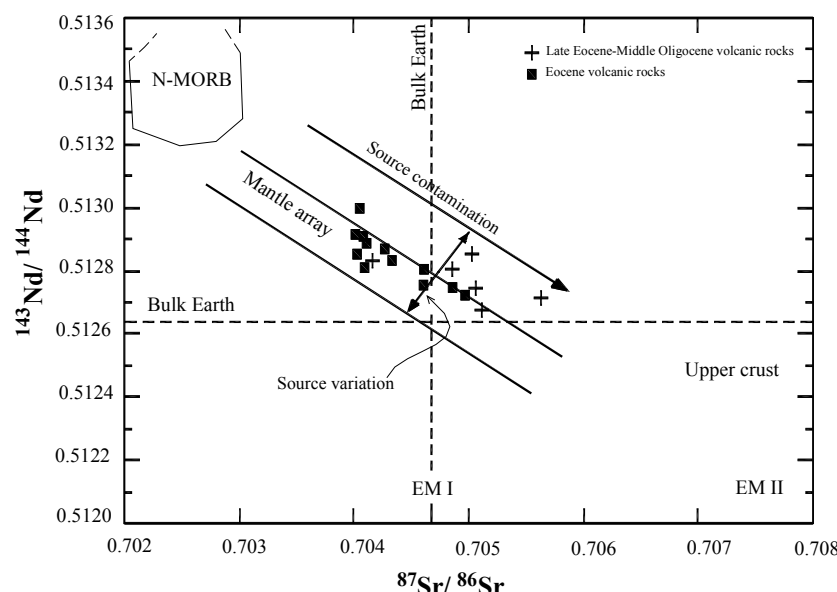
(Gd/Yb=۲ در مقایسه با سنگ‌های آتشفسانی ائوسن (۲-۲) Gd/Yb=۱-۲ Sm/Yb=۱ برخوردارند. در مجموع از بررسی این نسبتها در سنگ‌های آتشفسانی پالئوژن کمان ماغماتی سنوزوئیک



شکل ۹- مقایسه الگوی توزیع عناصر خاکی نادر در سنگ‌های آتشفسانی ائوسن (الف) و ائوسن پایانی-الیگوسن (ب) کمان ماغماتی سنوزوئیک کرمان که نسبت به منبع کندریتی (Sun & McDonough 1989) هنجار شده اند.

اولیه  $^{143}\text{Nd}/^{144}\text{Nd}$  در سنگ‌های آتشفسانی ائوسن پایانی-الیگوسن ( $0.512681\text{--}0.512841$ ) نسبتاً پائین‌تر از سنگ‌های آتشفسانی ائوسن ( $0.512745\text{--}0.512996$ ) می‌باشد (شکل ۱۰). همچنین مقادیر اپسیلون نئودیمیوم از سنگ‌های آتشفسانی ائوسن ( $-6\text{--}-3$ ) به طرف سنگ‌های آتشفسانی ائوسن پایانی-الیگوسن ( $-1\text{--}-3$ ) کاهش نشان داده است.

وبیگی‌های ایزوتوپی سنگ‌های آتشفسانی پالئوژن از نظر ایزوتوپی، نسبت اولیه  $^{87}\text{Sr}/^{86}\text{Sr}$  سنگ‌های آتشفسانی ائوسن بین  $0.70408\text{--}0.70498$  متفاوت است در حالیکه این نسبت در سنگ‌های آتشفسانی ائوسن پایانی-الیگوسن بزرگ‌تر و بین  $0.70412\text{--}0.70562$  می‌باشد. در مجموع سنگ‌های آتشفسانی ائوسن پایانی-الیگوسن از مقادیر رادیوژنیک‌تر  $^{87}\text{Sr}/^{86}\text{Sr}$  نسبت به سنگ‌های آتشفسانی ائوسن و میو-پلیوسن برخوردار می‌باشند. نسبت



شکل ۱۰- روند تغییرات ایزوتوپی  $^{87}\text{Sr}/^{86}\text{Sr}$  در مقابل  $^{143}\text{Nd}/^{144}\text{Nd}$  سنگ‌های آتشفسانی مافیک تا حد واسط دوره پالئوژن کمان ماغماتی سنوزوئیک کرمان نسبت به منابع جبهای و پوسته‌ای که توسط Zindler & Hart (1986) شناسائی شده‌اند: EM II معادل جبهه غنی شده و N-MORB بازالت‌های پشتیمه اقیانوسی معادل جبهه تهی شده اولیه می‌باشند. انحراف نمونه‌های مربوط به سنگ‌های آتشفسانی شوشاونیتی ائوسن پایانی-الیگوسن از آرایه جبهای می‌تواند به تغییر در ناحیه منشاء مagma و همچنین آسودگی مagma در ناحیه منشاء تفسیر شود.

## بحث

ذوب پوسته اقیانوسی. همچنین مقدار  $Ta/Nb$  در گدازه‌های بازالتی و آندزیت بازالتی اؤسن اندکی بیشتر از مقدار این نسبت در گوه جبهه‌ای با ویژگی بازالت‌های پشته میان اقیانوسی معمولی است. از آنجاکه  $Nb$  طی فرایند ذوب بخشی جبهه پریدوتیتی اندکی ناسازگارتر از  $Ta$  است (Green *et al.* 1989) لذا رخدادهای مکرر استخراج مذاب از جبهه بالایی بطور فزاینده‌ای پس‌مانده‌های تهی شده‌ای با مقادیر بالا از نسبت  $Ta/Nb$  خواهد ساخت (Gertisser & Keller 2003).

جدول ۵: مقایسه میانگین نسبت‌های شاخص جهت تعیین منبع اولیه تامین ماسه‌ای در سنگهای آتشفشاری اؤسن کمان ماسه‌ای سنوزوئیک کرمان با منابع اصلی تولید ماسه‌ای در زون فرورانش. مقادیر نسبت‌های مذکور برای منابع ماسه‌ای معرفی شده از (Sun & McDonough 1989) اخذ شده است.

نسبت‌های شاخص	بازالت اؤسن	آندزیت بازالتی اؤسن	بازالت‌های پشته میان اقیانوسی معمولی (معادل جبهه تهی شده)	بازالت‌های پشته میان اقیانوسی غنی شده (معادل جبهه غنی شده)	بازالت‌های جزایر اقیانوسی
$Zr/Nb$	۲۷	۳۱/۲۷	۳۱/۷۶	۸/۷۹	۵/۸
$Ta/Nb$	۰/۹	۰/۱۰	۰/۰۶	۰/۰۵	۰/۰۵
$Zr/Hf$	۳۰/۴۴	۲۲/۷۹	۳۶/۱	۳۵/۹۶	۳۵/۸۹

گوه جبهه ای پریدوتیتی به عنوان منبع اصلی تامین کننده ماسه‌ای در زون‌های فرورانش اکثرًا تحت تاثیر فرایندهای همچون آبزدایی پوسته اقیانوسی فرورو و همچنین ورود رسوبات قاره ای روی پوسته اقیانوسی فرورو قرار می‌گیرد و متحول می‌گردد. این تحول که افزایش غلظت برخی عناصر بویژه عناصر لیتوفیل بزرگ یون ( $Pb$ ,  $Sr$ ,  $Rb$ ,  $Ba$ ,  $Ce$ ,  $La$ ) را در گوه جبهه ای به دنبال دارد. از تغییرات میزان فراوانی نسبت‌های عناصر لیتوفیل بزرگ یون و عناصر خاکی نادر سبک به عناصر نامتحرک و یا بسیار کم تحرک مانند عناصر واسطه با شدت میدان زیاد ( $Ti$ ,  $Zr$ ,  $Ta$ ,  $Nb$ ) در گدازه‌ها به عنوان شاخص‌هایی برای شناخت عوامل موثر بر ناهمنگی ناحیه اولیه تولید ماسه‌ای در زون فرورانش (گوه جبهه‌ای) استفاده شده است (Wilson & Hildreth & Moorbath 1988 ; Tatsumi *et al.* 1986 ; You *et al.* 1996 ; Liu *et al.* 1996 ; Brenan *et al.* 1995, 1989 ; Tatsumi & Kogiso 1997 ; Kogiso *et al.* 1997 ; Rollinson 1993 ; Ayers 1998 ; Gertisser & Keller 2003). در مطالعه حاضر تعدادی از این شاخص‌ها در سنگ‌های آتشفشاری مافیک تا حدواتسط اؤسن و اؤسن پایانی-الیگوسن محاسبه و با مقادیر مربوط به منبع اولیه تامین ماسه‌ای گوه جبهه ای پریدوتیتی با ویژگی جبهه تهی شده مقایسه شده است (جدول ۶). مطابق این بررسی، به استثناء نسبت‌های  $Ce/Pb$ ,  $Rb/Cs$ ، مقادیر نسبت‌های عناصر لیتوفیل بزرگ یون و عناصر خاکی نادر سبک به عناصر واسطه با میدان پایداری زیاد

بر پایه نتایج فوق الذکر، مهمترین تغییر و تحولات زمین شیمیائی که در طی فعالیت‌های آتشفشاری در کمان ماسه‌ای از دوره اؤسن به سمت دوره الیگوسن مشاهده گردید عبارتند از: الف- سنگ‌های آتشفشاری بطرف تحت اشباع از سیلیکا میل می‌کنند؛ ب- بر میزان پتاسیم و عناصر لیتوفیل بزرگ یون سنگها افزوده می‌گردد؛ ج- بر میزان  $La/Sm$  سنگها به عنوان شاخص غنی شدگی در عناصر نادر خاکی سبک آنها افزوده می‌گردد؛ د- بر میزان تفکیک شدگی از عناصر خاکی نادر ( $La/Yb$ ) در سنگها افزوده می‌گردد؛ ه-  $^{87}Sr/^{86}Sr$  در سنگها رادیوزنیک تر می‌گردد؛ و-  $^{143}Nd$  کاهش می‌یابد. این تحولات نقش مهمی در آشکار نمودن جنبه‌های پتروزنیتیکی این سنگها ایفاء نموده اند.

با مشخص شدن محیط زمین ساختی حاکم بر کمان ماسه‌ای سنوزوئیک کرمان در دوره پالئوژن اولین گام در دستیابی به فرایندهای سنگ زائی مسئول فعالیت‌های آتشفشاری پالئوژن که با سنگ‌های آتشفشاری کالک آکالاین کم پتاسیم تا پرپتاسیم اؤسن آغاز و به ماسه‌ماهای شوشونیتی اؤسن پایانی-الیگوسن ختم گردید، شناخت ناحیه اولیه تولید ماسه‌ای در یک زون فرورانش است. جهت دستیابی به این مهم از برخی شاخص‌های زمین شیمیائی معرفی شده در این زمینه مانند  $Ta/Nb$  و  $Zr/Hf$ ,  $Zr/Nb$ ,  $Ta/Nb$  و  $Zr/Hf$  (Woodhead *et al.* 1993) (McGilloch & Gamble 1991) بهره گرفته شده است که در گدازه‌های مافیک تا حدواتسط به عنوان معادل‌های فرض شده ماسه‌ماهای اولیه مشتق از زون فرورانش بدون دخالت پوسته قاره ای مورد بررسی و مقایسه قرار گرفته اند زیرا این عناصر در مقایسه با عناصر لیتوفیل بزرگ یون و همچنین عناصر خاکی نادر در طی فرایندهای متحول کننده گوه جبهه ای همانند آبزدایی پوسته اقیانوسی فرورو تقریباً غیرمتحرك هستند و همچنین مقدار آنها در رسوبات قاره ای روی پوسته اقیانوسی فرورو بسیار ناچیز است که بتوانند گوه جبهه ای را متوجه نمایند (Pearce 1983). بررسی نسبت‌های مذکور در گدازه‌های مافیک تا حدواتسط ماسه‌ماهای آغازین کمان ماسه‌ای کرمان یعنی سنگ‌های بازالتی و آندزیت بازالتی اؤسن شباهت آنها را به مقادیر پایه این شباهت می‌توان منبع اولیه تولید ماسه‌ای اؤسن را گوه جبهه ای پریدوتیتی در نظر گرفت که از لحاظ ترکیبی بسیار نزدیک به بازالت‌های پشته میان اقیانوسی معمولی بوده است و در حقیقت یک جبهه تهی شده بوده است. در نتیجه غلظت پائین عناصر واسطه با میدان پایداری بالا در گدازه‌های اؤسن می‌تواند از ویژگی ماسه‌ماهای منشاء گرفته از ذوب جبهه فوقانی در مناطق فرورانش تلقی گردد و نه از

جزایر قوسی (۲۰-۳۳) می باشدند. با این تفاسیر می توان عنوان نمود که پائین ترین مقادیر Rb/Cs که در سنگ های آتشفسانی مافیک و حدواسط با پتاسیم کم ائوسن از میان سنگ های آتشفسانی مرتبط با زون فورانش دوره پالئوژن نمود یافته است می تواند گویای این مطلب باشد که فعالیت های آتشفسانی فقیر از پتاسیمی که در ائوسن در کمان ماقمای سنوژوئیک کرمان حادث شده است شاید تائیدی بر موقعیت جزیره قوسی این کمان بویژه در ابتدای دوره ائوسن باشد.

از دیگر ویژگی های مهم زمین شیمیائی آشکار شده در سنگ های آتشفسانی پالئوژن می توان به غنی شدگی بیشتر از عناصر خاکی نادر سبک (La/Sr)، تهی شدگی بیشتر از عناصر خاکی نادر متواتط و سنگین (Gd/Yb) و طور کلی افزایش میزان تفكیک شدگی از عناصر خاکی نادر (La/Yb) در سنگ های مافیک و حدواسط دوره ائوسن پایانی - الیگوسن در مقایسه با سنگ های آتشفسانی هم ارز در دوره ائوسن اشاره کرد که این ویژگی ها نیز اهمیت پتروژنتیکی دارند. حضور نسبت های بالای Sm/Yb ( $>5$ ) و La/Yb ( $>20$ ) نشاندهند باقی ماندن مقادیر زیادی از عناصر خاکی نادر سنگین بوسیله گارنت و پپروکسن در پس ماند حاصل از ذوب در ناحیه منشاء می باشد (Kay *et al.* 1994; Kay & Mpodozis 1994; Kay *et al.* 1991, Kay & Guenther 2003؛ Haschke & Guenther 2001). حضور گارنت به عنوان یکی از کانیهای اصلی در سنگ منشاء یا پس ماند نشانگر فشار برابر یا بیش از ۱۲ تا حداقل ۱۵ کیلوبار در ناحیه منشاء ماقمای مادر معرفی شده است (Rapp & Watson 1995). علاوه بر اینها بررسی دیگر نسبت های زمین شیمیائی معرف فرایندهای سنگ زائی همچون نسبت های کمان علاوه بر اینکه متفاوت بودن سنگ منشاء آنها را نشان داده است متفاوت های بودن فرایندهای ماقمای و سنگ زائی مولد آنها همچون تفاوت در درجه ذوب بخشی ناحیه منشاء و فرایندهای هضم و تفریق بلوری در پوسته قاره ای را آشکار کرده است (شکل ۱۱). طبق این نمودارها، سنگ های آتشفسانی ائوسن در درجات بالاتری از ذوب بخشی و از سنگ منشی متفاوت نسبت به سنگ های آتشفسانی ائوسن پایانی - الیگوسن حاصل شده اند.

جهت مشخص نمودن سنگ منشاء برای فعالیت های آتشفسانی دوره های مختلف آتشفسانی در کمان ماقمای سنوژوئیک کرمان از نمودار La/Sr در مقابل Sm/Yb استفاده شده است (شکل ۱۲). افزایش قابل ملاحظه مقادیر La/Sr و همچنین افزایش مقادیر Sm/Yb از سنگ های آتشفسانی توئیتی - کالک آلکالین ائوسن به طرف سنگ های شوشوونیتی ائوسن پایانی - الیگوسن گویای تغییر کانی شناسی سنگ منشاء این ماقماها می باشد. همانگونه که در این نمودار مشخص است به نظر می رسد سنگ منشاء ماقماهای کالک آلکالین

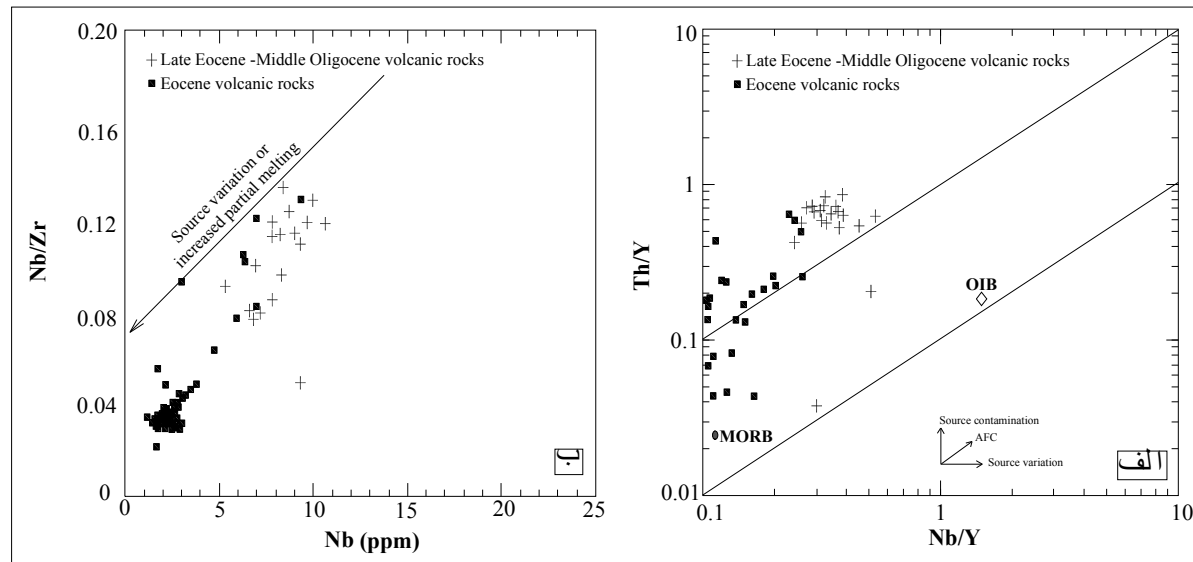
جدول ۶: مقایسه میانگین نسبت های شاخص متحوال کننده جبه فوکانی (گوه) جبه ای در منطقه فروراش در سنگهای آتشفسانی ائوسن و ائوسن پایانی - الیگوسن با جبه تهی شده به عنوان ناحیه اولیه تامین کننده ماقما برای فعالیت های آتشفسانی پالئوژن در کمان ماقمای سنوژوئیک کرمان. مقادیر Sun & McDonough نسبت های مذکور برای جبه تهی شده اولیه از (1989) اخذ شده است.

ترکیب سنگ شناسی	Th/Nb	Rb/Cs	Ce/Pb
بازالت با پتاسیم کم (ائوسن)	۰/۳۰	۱۹/۹۴	۱/۳۹
آندزیز بازالتی با پتاسیم کم (ائوسن)	۰/۹۰	۱۵/۷۸	۱/۸۱
آندزیز با پتاسیم کم (ائوسن)	۰/۸۴	۱۸/۱۴	۱/۸۶
بازالت با پتاسیم متواتط (ائوسن)	۱/۲۲	۲۷/۸۸	۲/۷۹
آندزیز بازالتی با پتاسیم متواتط (ائوسن)	۲/۰۵	۲۰/۲۵	۲/۲۱
آندزیز با پتاسیم متواتط (ائوسن)	۱/۳۶	۳۸/۱۰	۴/۲۲
بازالت با پتاسیم زیاد (ائوسن)	۱/۳۶	۲۷/۹۵	۳/۴۴
آندزیز بازالتی با پتاسیم زیاد (ائوسن)	۳/۴۱	۲۶/۰۲	۳/۲۶
آندزیز با پتاسیم زیاد (ائوسن)	۲/۵۴	۳۴/۷۳	۲/۶۵
تراکی - بازالت (ائوسن پایانی - الیگوسن)	۲/۰۷	۳۱/۷۷	۳/۷۴
تراکی آندزیز بازالتی (ائوسن پایانی - الیگوسن)	۱/۸۲	۳۸/۵۱	۳/۸۰
تراکی - آندزیز (ائوسن پایانی - الیگوسن)	۲/۰۶	۴۱/۸۶	۳/۷۱
جهه تهی شده اولیه	-۰/۰۵	۸۰	۲۵

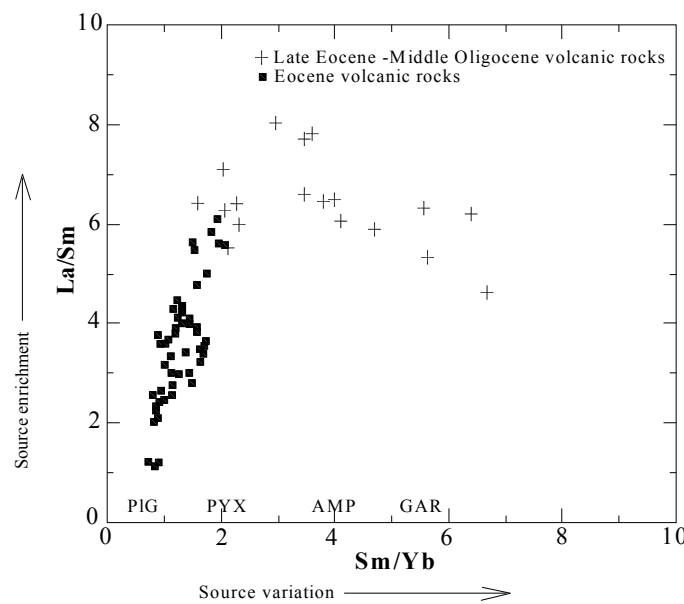
(مانند Ce/Nb, Th/Nb, Ba/Nb, La/Zr) از سنگ های آتشفسانی کم پتاسیم ائوسن به طرف سنگ های پر پتاسیم این دوره و همچنین به طرف سنگ های شوشوونیتی دوره ائوسن پایانی - الیگوسن در مقایسه با مقادیر این نسبت ها در ناحیه اولیه منشاء (گوه جبه ای) بسیار افزایش یافته است. افزایش عناصر لیتوفیل بزرگ یون و عناصر خاکی نادر سبک در ناحیه منشاء می تواند نشات گرفته از آبدائی اجزاء تشکیل دهنده پوسته اقیانوسی فرورو مانند آمفیبول، بیوتیت، فلوگوپیت. در نتیجه شکسته شدن آنها در رفای بیشتر از ۱۲۰ کیلومتر زون فرورانش باشد. آبدائی پوسته اقیانوسی فرورو به مقدار زیادی می تواند عناصر متحرک در سیالات داغ همانند لیتوفیل بزرگ یون و عناصر خاکی نادر سبک را وارد گوه جبه ای نماید که این فرایند غنی شدن این ناحیه، تغییر سنگ منشاء و نهایتاً ذوب گوه جبه ای با ترکیب Ce/Pb جدید را به دنبال خواهد داشت. پائین بودن مقادیر نسبت های Rb/Cs و بالا بودن Th/Nb در گدازه ها در مقایسه با منبع اولیه یعنی قاره ای روی پوسته اقیانوسی فرورو به داخل گوه جبه ای در نظر گرفته می شود (Morris & Hart 1983; White & Patchett 1984; Hildreth & Moorbat 1988; Gertisser & Keller 2003). لازم به ذکر است که بالا بودن مقدار Cs نسبت به Rb که از ویژگی گدازه های جزایر قوسی عنوان شده است معمولاً به دخالت رسوبات پلازیک غنی از Cs در ذوب جبه فوکانی نسبت داده شده است. همچنین (1986) White & Dupre مقدار Rb/Cs برای رسوبات دریائی را بین ۱۱ تا ۲۰ مشخص نموده اند که قابل مقایسه با مقادیر این نسبت در گدازه های

در ژرفای زیادی از گوه جبهه ای در زون فروزانش (بیشتر از ۲۵۰ کیلومتر) در این دوره حضور داشته باشد (شکل ۱۳). در این اعماق، پتاسیم و عناصر لیتوفیل بزرگ یون به میزان فراوان در کانی های همچون سانیدین و فلوگوپیت حضور دارد (Muller & Groves 1993). بنابراین می توان شکسته شدن و آبزدایی بخش های عمیق پوسته اقیانوسی فرورو (بخش اکلوزیتی) و آزاد شدن آب، مواد فرار، پتاسیم و عناصر ناسازگار لیتوفیل بزرگ یون از آنجا به داخل گوه جبهه ای بالای پوسته اقیانوسی فرورو را مسئول غنی سازی و به عبارت بهتر متاسوماتیسم جبهه فوقانی فرض نمود. اعتقاد بر این است که در این ژرفای افزایش فشار در آزادسازی بیش از اندازه آب، مواد فرار، پتاسیم و عناصر ناسازگار لیتوفیل بزرگ یون نقش اساسی را دارد (Maysen & Koshiro 1979). آب و مواد فرار آزادشده جبهه متاسوماتیسم شده بالائی را ذوب می نماید و می تواند آن را به پریدوتیت غنی از فلوگوپیت (Pognant 1990) و یا لرزولیت غنی از فلوگوپیت (Peccerillo *et al.* 1984)، گارنت- لرزولیت (Tatsumi *et al.* 1989) تبدیل نماید. تهی شدگی نسبتاً زیاد از عناصر خاکی نادر متوسط و سنگین (Sm/Yb) به همراه Y و همچنین فقدان آنومالی منفی Eu در سنگ های آتشفشاری شوشوونیتی دوره ائوسن پایانی- الیگوسن انگکاس دهنده حضور گارنت در سنگ منشاء می باشد که با جدايش انتخابی عناصر حاصل از ذوب سنگ منشاء می باشد که با چنین باعث تهی شدن ماقمای حاصله از عناصر مذکور شده است (شکل ۱۲).

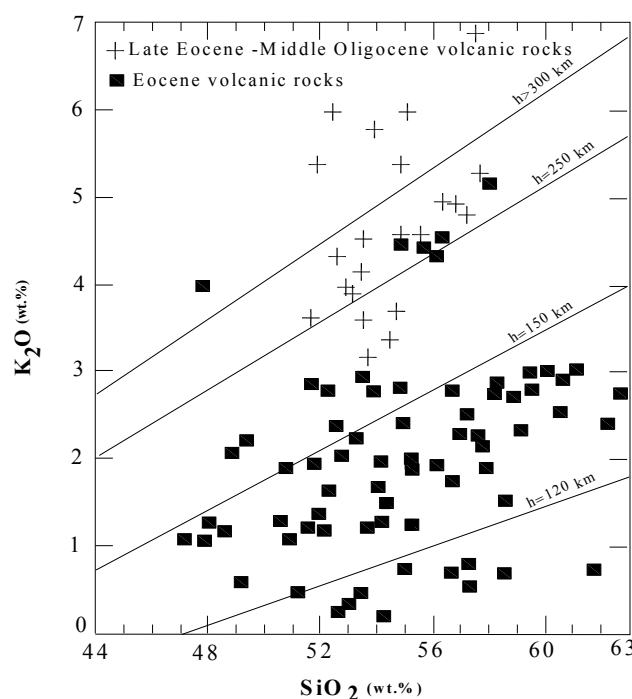
ائوسن عمدهاً دارای ترکیب پلازیوکلاز و پیروکسن بوده است و در مقابل سنگ منشاء ماقمای شوشوونیتی ائوسن پایانی- الیگوسن از پیروکسن، آمفیبول و گارنت تشکیل یافته است. با این ترکیب کانی شناسی می توان با احتمال سنگ منشاء ماقمای کالک آلکالین ائوسن را یک پریدوتیت عاری از گارنت (پریدوتیت پلازیوکلازدار و یا پریدوتیت پیروکسن دار) در نظر گرفت که تفرقی یا باقی ماندن پلازیوکلاز در پس مانده حاصل از ذوب باعث تولید ماقمای کالک گردیده است. این سنگ های پائین Sr و همچنین آنومالی منفی Eu گردیده است. این سنگ های منشاء سازگار با ژرفاهای تعیین شده برای ناحیه منبع این ماقمای در دوره ائوسن (کمتر از ۱۲۰ کیلومتر برای سنگ های کم پتاسیم و بین ۱۲۰ تا ۲۵۰ کیلومتر برای سنگ های با پتاسیم متوسط تا زیاد؛ شکل ۱۳) و همچنین سازگار با ویژگی های زمین شیمیائی عناصر لیتوفیل بزرگ یون و عناصر خاکی نادر این دو گروه از ماقمای ائوسن است (جدول ۶). در نتیجه می توان مطرح کرد که ماقمای کالک آلکالین کم پتاسیم دوره ائوسن احتمالاً از یک پریدوتیت پلازیوکلازدار در اعماق کم گوه جبهه ای منشاء گرفته است؛ اما ماقمای کالک آلکالین معمولی تا پُرپتاسیم این دوره می توانسته اند با افزایش عمق از یک پریدوتیت پیروکسن دار در گوه جبهه ای منشاء گرفته باشد. تفرقی چنین ماقمای ای در شرایط آبدار می تواند ماقمای حدواسط و فلزیک را در کمان شکل داده باشد. همچنین مطابق نمودار تعیین سنگ منشاء (شکل ۱۲)، ماقمای مادر سنگهای آتشفشاری ائوسن پایانی- الیگوسن احتمالاً از یک جبهه پریدوتیتی واجد پیروکسن و گارنت منشاء گرفته است که این سنگ منشاء می توانسته



شکل ۱۱: کمتر بودن درجه ذوب بخشی و متفاوت بودن سنگ منشاء ماقمای شوشوونیتی دوره ائوسن پایانی- الیگوسن نسبت به ماقمای کالک آلکالین دوره ائوسن در کمان ماقمای سنتزوزئیک کرمان (نمودارهای پایه از Seghedi *et al.* 2004)



شکل ۱۲: ترکیب کانی شناسی سنگ منشاء ماغماهای مولد سنگ‌های آتشفشاری پالئوژن در کمان ماقمائی سنوزوئیک کرمان (نمودار پایه از & Mpodozis 2001). حروف اختصاری معروف کانی‌ها هستند (PIG: پلازیوکلاز؛ PYX: پیروکسن؛ AMP: آمفیبول؛ GAR: گارنت).



شکل ۱۳: نمودار اکسید پتاسیم-سیلیکا جهت مشخص نمودن ژرفای منشاء گرفتن ماغماهای مافیک و حدواتسط مربوط به فعالیت‌های آتشفشاری دوره ائوسن و دوره ائوسن پایانی-الیگوسن در کمان ماقمائی سنوزوئیک کرمان (نمودار پایه از Ninkovich & Hayes 1972)

Sr را وارد ماغماهای حاصله نموده است. این ویژگی‌های ژئوشیمیائی تأیید کننده سنگ منشاء ذکر شده در بالا برای تشکیل سنگ‌های شوшуونیتی ائوسن پایانی-الیگوسن می‌باشد. در هر حال مذابی که به عنوان ماغمای مادر در ناحیه منبع یعنی در جبه فوکانی هر ترکیبی از ترکیبات فوق الذکر را داشته باشد به شدت از پتاسیم و عناصر ناسازگار

همچنین بالا بودن نسبی Sr (۳۸۲-۱۳۲۳ ppm) و نبود آномالی منفی Eu در سنگ‌های آتشفشاری ائوسن پایانی-الیگوسن می‌تواند گویای این مسئله باشد که پلازیوکلاز به عنوان یک کانی جداگانه Sr و Eu از مذاب در فرایند ذوب بخشی ناحیه منبع تولید ماغماهای شوшуونیتی این دوره نتوانسته پایدار بماند و نتیجتاً ذوب آن مقادیر زیادی از Eu

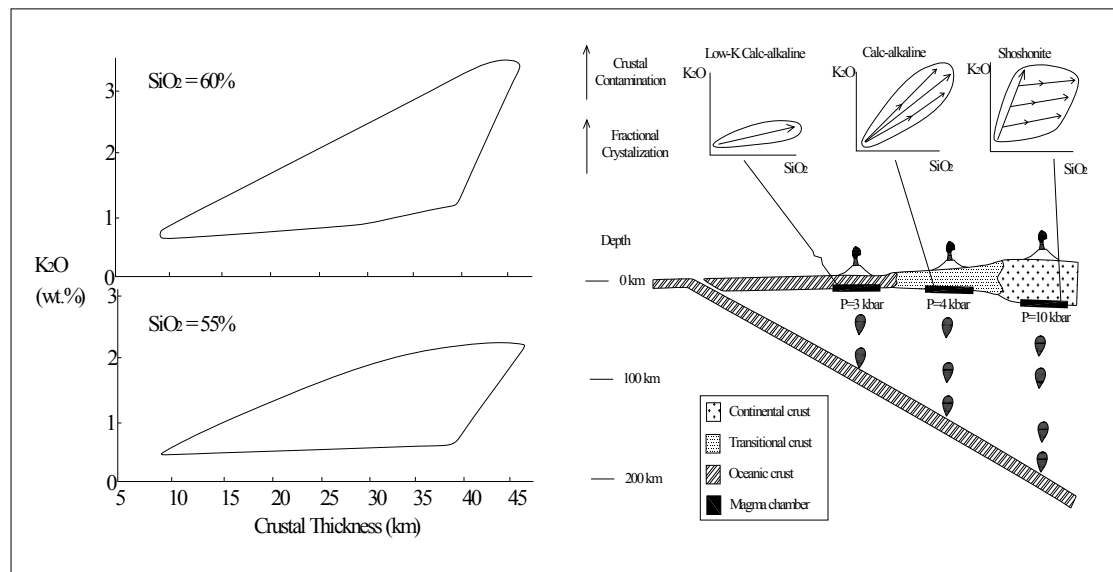
نسبت به دوره ائوسن است (شکل ۱۰). این ویژگی‌ها به همراه کاهش مقادیر اپسیلون نئودیمیوم از سنگ‌های آتشفشاری دوره ائوسن تا سنگ‌های آتشفشاری دوره ائوسن پایانی-الیگوسن می‌تواند نشان دهنده دخالت بیشتر پوسته قاره‌ای در تکوین و تحول ماقماییسم دوره ائوسن پایانی-الیگوسن باشد. این دخالت بیشتر شاید بواسطه ضخیم‌تر شدن پوسته قاره‌ای از ائوسن پایانی به طرف الیگوسن رخ داده باشد (Shafeie et al. 2009). از آنجاکه بخش عمدۀ سنگ‌های آتشفشاری ائوسن پایانی-الیگوسن (مجموعه آتشفشاری هزار) با میزان پتاسیم و دیگر عنانصر ناسازگار بسیار بالا از سنگ‌های آتشفشاری کالک‌آلکالین ائوسن (مجموعه‌های آتشفشاری بحرآسمان و رازک) قابل تفکیک هستند؛ بنابراین با توجه به حادث شدن بخش عمدۀ ماقماییسم شوшуونیتی ائوسن پایانی-الیگوسن در بخش جلوئی کمان و قرار گرفتن بخش عمدۀ سنگ‌های آتشفشاری کالک‌آلکالین ائوسن نزدیک به محل زمیندرز شهریابک-بافت (شکل ۳-ج) می‌توان یک رابطه مستقیم بین پتاسیم و عمق منشاء گرفتن ماقماهای در طی ائوسن و ائوسن پایانی-الیگوسن قائل شد. افزایش یافتن ژرفای منشاء گرفتن ماقمای مولد فعالیت‌های آتشفشاری از ائوسن تا ائوسن پایانی-الیگوسن به همراه مهاجرت ماقماییسم در عرض کمان از اوخر ائوسن تا میانه الیگوسن و حدوث آن در فاصله بیشتری از محل فرضی زمیندرز می‌تواند گویای کمتر شدن شبیه فروزانش در این دوره و نهایتاً منشاء گرفتن ماقماهای مذکور از بخش‌های خیلی عمیق منابع ماقمایی در یک زون فروزانش نسبتاً کم شبیه باشد. قرار گرفتن مجموعه آتشفشاری متعلق به دوره ائوسن پایانی-الیگوسن در فاصله بیشتر از محل فرضی زمیندرز یا به عبارت بهتر در پوسته کاملاً قاره‌ای می‌تواند یکی از دلایل پرپتاسیم شدن ماقماهای این دوره فرض شود. این تغییر در میزان پتاسیم که با تغییر سری ماقمایی در فعالیت‌های آتشفشاری کمان از محل فرضی زمیندرز بطریق قاره بطور نسبی قابل تعقیب است می‌تواند ناشی از تغییرات فشار اعمال شده از پوسته بالای زون فروزانش بر منابع تامین ماقما (گوه جبهای) در حین صعود و تفریق ماقمای بازالتی باشد (Meen 1990, 1987) (شکل ۱۴). با این تفاسیر می‌توان مطرح کرد که تحت اشباع بودن سنگ‌های آتشفشاری شوшуونیتی الیگوسن از سیلیکا و ماهیت پرپتاسیم تر و همچنین گسترده‌گی کمتر آنها نسبت به سنگ‌های آتشفشاری ائوسن در ارتباط با ژرفای زیادتر و ذوب تحت فشار بیشتر و نتیجتاً درصد پائین تر ذوب بخشی ناحیه منشاء ماقمای آنها بدون ذوب شدن فاز سیلیکای فشار بالا باشد (شکل ۱۱، شکل ۱۲، شکل ۱۳). مطابق این الگو، حضور سنگ‌های آتشفشاری مافیک با پتاسیم پائین و با گرایش انتقالی بین تولیتی و کالک‌آلکالین به سن نسبی ائوسن در لبه جنوبی کمان نزدیک به محل دراز گودال فرضی (در محل اسفندقه و ساردوئیه) به احتمال زیاد

غنى شده است. از آنجا که با افزایش عمق منشاء گیری مذابها و افزایش فشار (بیشتر از ۱۰ کیلوبار)، درجه ذوب بخشی کاهش می‌یابد؛ بنابراین ماقماهای شوшуونیتی که از اعمق زیاد و تحت فشار زیاد منشاء گرفته‌اند با درصد پائینی از ذوب بخشی ناحیه منبع در مقایسه با ماقماهای کالک‌آلکالین معمولی تا پُرپتاسیم تولید می‌شوند. این مطلب با ویژگی‌های عنصر فرعی این رخداد آتشفشاری در مقایسه با رخداد آتشفشاری دوره ائوسن تائید شده است (شکل ۱۱).

مسئله مهم دیگری که بایستی در فرایند سنگ زائی سنگ‌های شوшуونیتی ائوسن پایانی-الیگوسن کمان ماقمایی سنجوئیک کرمان به آن اشاره کرد افزایش یافتن مقادیر Rb/Cs در این سنگ‌ها نسبت به سنگ‌های آتشفشاری ائوسن می‌باشد. بالا بودن مقدار Cs نسبت به Rb و پائین بودن Rb/Cs (۲۰-۳۳) که از ویژگی گدازه‌های جزایر قوسی (White & Dupre 1986) (همانند سنگ‌های آتشفشاری ائوسن پایانی-الیگوسن) عنوان شده است در سنگ‌های آتشفشاری ائوسن شیمیائی حادث شده در فعالیت‌های آتشفشاری کمان ماقمایی کرمان در طی ائوسن و الیگوسن باشد. این مطلب می‌تواند نشاندهنده قاره‌ای شدن پوسته بنیان ماقماییسم در کمان کرمان در طی این دوره نسبت به دوره ائوسن و زمان‌های قدیمی تر باشد که با تغییر و تکامل محیط زمین ساختی کمان از محیط حدواتسط بین جزیره قوسی اقیانوسی-قاره‌ای در زمان ائوسن به محیط تکتونیکی کاملاً حاشیه قاره‌ای در زمان ائوسن پایانی-الیگوسن سازگار است (شکل ۸). مطابق نظر (Hildreth & Moorbat 1988) یکی از دلایل افزایش یافتن میزان عنانصر پوسته قاره‌ای مانند K، Rb، Cs، Th، Ba و Sr بوده در سنگ‌های حدواتسط و فلزیک دوره مذکور می‌تواند فرایندهای آلودگی، هضم و تفرقی بلوری ماقماهای اولیه منشاء گرفته از سنگ منشاء با ترکیب پریدوتیت پیروکسن و گارنت دار در پوسته قاره ای باشد. در چنین شرایطی سنگ‌های حدواتسط و فلزیک ائوسن پایانی-الیگوسن (سنگ‌های تراکی آندزیتی و تراکیتی) با تفکیک یافتنی زیاد از عنصر خاکی نادر سنگین (La/Yb) و تهی شدگی زیاد از عنصر خاکی نادر سنگین (Gd/Yb) می‌توانسته اند شکل بگیرند. در تائید این مطلب، نتایج آنالیزهای ایزوتوپی نشان داد که سنگ‌های آتشفشاری شوшуونیتی دوره ائوسن پایانی-الیگوسن از نسبت اولیه  $^{87}\text{Sr}/^{86}\text{Sr}$  بزرگتر و یا به عبارت بهتر رادیوزنیک‌تر (۷۰۴۱۲۳/۷۰۴۱۲۳) در مقایسه با سنگ‌های آتشفشاری کالک‌آلکالین ائوسن (۷۰۴۹۸۳/۷۰۴۰۱۸) برخوردارند. انحراف در توزیع خطی داده‌های ایزوتوپی مربوط به سنگ‌های آتشفشاری ائوسن پایانی-الیگوسن و پراکنده شدن آنها در بالای محدوده آرایه جبه نیز تائید کننده تغییر سنگ منشاء این سنگ‌ها

سنوزوئیک کرمان یعنی در زمانی که کمان موقعیت زمین ساختی جزیره قوسی را داشته است حاصل شده‌اند.

از ذوب بخشی پریدوتیت پلازیوکلازدار (و یا اسپیتل دار) در عمق کم یک زون بنیف (فسار کم) و در مراحل اولیه تکامل کمان ماقمایی



شکل ۱۴- الگوی سنگ زائی پیشنهادشده برای تحولات مشاهده شده در سری ماقمایی آتشفسانی پالئوزون در کمان ماقمایی سنوزوئیک کرمان (نقل با تغییرات از ۱۹۸۷ Meen). توضیح بیشتر در متن مربوطه ارائه گردیده است.

می‌تواند انعکاس دهنده تغییر در ناحیه منشاء ماقما (جبهه‌ای و یا پوسته‌ای)، تغییر در ترکیب سنگ منشا (پریدوتیت فلوگوپیت و گارنت دار) و همچنین تغییر در ترکیب پوسته بنیان کمان ماقمایی از اقیانوسی-قاره‌ای در زمان ائوسن به صرفاً قاره‌ای در زمان الیگوسن باشد.

ت-آشتگی بیشتر ماقمایی مادر سرشار از پتابسیم و عناصر لیتوفیل بزرگ یون گدازه‌های الیگوسن که به احتمال قوی از ذوب بخش‌های خیلی عمیق یک جبهه متاسوماتیسم شده (بیشتر از ۲۵۰ کیلومتر) حاصل شده با پوسته قاره‌ای ضخیم‌تر شده در الیگوسن و فوران در چنین پوسته‌ای می‌تواند تفسیری برای گرایش شوشونیتی این گدازه‌ها باشد.

ث- فاصله گرفتن سنگ‌های آتشفسانی شوشونیتی ائوسن پایانی-الیگوسن از محل دراز گودال فرضی تیس جوان (زمیندرز شهرbabk-بافت-ساردوئیه) می‌تواند با کم شدن شبیب زون فروزانش در این دوره نسبت به دوره ائوسن توجیه شود. منشا گرفتن سنگ‌های آتشفسانی شوشونیتی ائوسن پایانی-الیگوسن از بخش‌های خیلی عمیق زون فروزانش الیگوسن می‌تواند فوران گدازه‌ها و سنگهای آذرآواری وابسته را در فاصله بیشتر از دراز گودال یعنی در داخل قاره سبب شده باشد.

#### نتیجه گیری:

مهمنترین نتایج حاصل از مطالعه حاضر عبارتند از:

الف- فعالیت‌های گسترده آتشفسانی ائوسن (مجموعه‌های بحرآسمان و رازک) در کمان ماقمایی سنوزوئیک کرمان که با ماهیت انتقالی تولیتی-کالکآلکالین تجلی یافته است می‌تواند بازتابی از حاکم بودن بخشی از فروزانش پوسته اقیانوسی تیس جوان به زیر پوسته اقیانوسی احاطه کننده ایران مرکزی و بخشی دیگر به زیر پوسته قاره‌ای حاشیه جنوبی خرد قاره در حال چرخش ایران مرکزی در این زمان باشد.

ب- ذوب بخش‌های کم عمق تا نسبتاً عمیق گوه جبهه‌ای (پریدوتیت‌های پلازیوکلاز دار و پیروکسن دار) در زون فروزانش پالئوزون عامل فعالیت‌های آتشفسانی گسترده کالکآلکالین در ائوسن بوده است. حضور حجم‌هایی از گدازه‌های ائوسن در داخل مجموعه‌های افیولیتی مجاور کمان ماقمایی (زمیندرز شهرbabk-بافت-ساردوئیه) شاهدی بر این مدعای است که رخداد بخشی از فروزانش پوسته اقیانوسی تیس جوان به زیر پوسته اقیانوسی احاطه کننده خرد قاره در حال چرخش ایران مرکزی باعث فعالیت‌های آتشفسانی کالکآلکالین کم پتابسیم هرچند محدود گردیده است.

پ- تغییر ماهیت فعالیت‌های آتشفسانی در ائوسن پایانی-الیگوسن

## منابع:

- شفیعی ب. ۱۳۸۷: الگوی فلزهای کمربند مس پورفیری کرمان و رهیافت های اکتشافی آن. رساله دکتری زمین شناسی اقتصادی دانشگاه شهید باهنر کرمان، ۲۵۷ صفحه به همراه پیوست.
- Ahmad T., Posht Kuh M. 1993: Geochemistry and petrogenesis of Urumiah-Dokhtar volcanic belt around Nain and Rafsanjan area: a preliminary study: *Treatise on the Geology of Iran*. Iranian Ministry of Mines and Metals, 90p.
- Alavi M. 1994: Tectonic of the Zagros orogenic belt of Iran; new data and interpretations. *Tectonophysics* **229**: 211-238.
- Ayers J. 1998: Trace element modeling of aqueous fluid-peridotite interaction in the mantle wedge of subduction zones. *Contrib. Mineral. Petrol.* **132**: 390-404.
- Berberian F., Muir I.D., Pankhurst R.J., Berberian M. 1982: Late Cretaceous and early Miocene Andean type plutonic activity in northern Makran and central Iran. *J. Geol. Soc. Lond.* **139**: 605-614.
- Berberian M., King G.C.P. 1981: Toward a paleogeography and tectonic evolution of Iran. *Can. J. Earth Sci.* **18**: 210-265.
- Brenan J.M., Shaw H.F., Ryerson F.J., Phinney D.L. 1995b: Mineral-aqueous fluid partitioning of trace elements at 90°C and 2 GPa: constraints on the trace element chemistry of mantle and deep crustal fluids. *Geochim. Cosmochim. Act.* **59**: 3331-3350.
- Condie K.C. 1989: Geochemical changes in basalts and andesites across the Archean-Proterozoic boundary: identification and significance. *Lithos* **23**: 1-18.
- Dercourt J., Zonenshain L., Ricou L.E., Kazmin G., LePichon X., Knipper A.L., Grandjacquet C., Sbortshikov I.M., Geyssant J., Lepvrier C., Pechersky D.H., Boulin J., Sibuet J.C., Savostin L.A., Sorokhtin O., Westphal M., Bazhenov M.L., Lauer J.P., Biju-Duval B. 1986: Geological evolution of the Tethys belt from the Atlantic to Pamirs since the Lias. *Tectonophysics* **123**: 241-315.
- Dimitrijevic M.D. 1973: Geology of Kerman region. *Geol. Surv. Iran. Rep.* **52**: 334p.
- Emami M.H., Mir Mohammad Sadeghi M., Omrani S.J. 1993: Magmatic map of Iran. *Geol. Surv. Iran.*
- Gertisser R., Keller J. 2003: Trace element and Sr, Nd, Pb, and O isotope variations in medium-K and high-K volcanic rocks from Merapi Volcano, Central Java, Indonesia: Evidence for the involvement of subducted sediments in Sunda arc magma genesis. *J. Petrol.* **44**: 457-489.
- Ghasemi A., Talbot C.J. 2006: A new tectonic scenario for the Sanandaj-Sirjan zone (Iran). *J. Asian. Earth Sci.* **26**: 683-693.
- Green T.H., Sie S.H., Ryan C.G., Cousens R.D. 1989: Proton microprobe-determined partitioning of Nb, Ta, Zr, Sr, and Y between garnet, clinopyroxene and basaltic magmas at high pressure and temperature. *Chemical. Geol.* **74**: 201-216.
- Haghipour A.A., Aghanabati S.A. 1985: Geological map of Iran. *Geol. Surv. Iran.*
- Haschke M.R., Guenther A. 2003: Balancing crustal thickening in arcs by tectonic vs. magmatic means. *Geology* **31**: 933-936.
- Hassanzadeh J. 1993: Metallogenic and tectono-magmatic events in the SE sector of the Cenozoic active continental margin of Iran (Shahr e Babak area, Kerman province). *Ph.D. thesis, Univ. CLA, USA*, 204p.
- Hildreth W., Moorbath S. 1988: Crustal contributions to arc magmatism in the Andes of central Chile. *Contrib. Mineral. Petrol.* **98**: 455-489.
- Irvin T.N., Baragar W.R.A. 1971: A guide to the chemical classification of the common igneous rocks. *Can. J. Earth. Sci.* **8**: 523-548.
- Kay S. M., Mpodozis C. 2001: Central Andes ore deposits linked to evolving shallow subduction systems and thickening crust. *GSA TODAY* **11**: 4-9.
- Kay S.M., Mpodozis C., Tittler A., Cornejo P. 1994: Tertiary magmatic evolution of the Maricunga mineral belt in Chile. *Int. Geol. Rev.* **36**: 1079-1112.
- Kay S.M., Mpodozis C., Ramos V.A., Munizaga F. 1991: Magma source variations for mid-late Tertiary magmatic rocks associated with a shallowing subduction zone and a thickening crust in the central Andes (28-33°S). In: Harmons R.S., Rapela C.W. (Eds.) Andean magmatism and its tectonic setting. *Geol. Soc. Am. Spec. Pap.* **265**: 113-137.
- Kogiso T., Tatsumi Y., Nakano S. 1997: Trace element transport during dehydration processes in the subducted oceanic crust: 1. experiments and implications for the origin of oceanic island basalts. *Earth Planet. Sci. Lett.* **148**: 193-205.
- Le Maitre R.W. 1989: A classification of igneous rocks and the glossary of terms. *I.U.G.S., Blackwell Sci. Pub.* 193p.
- Liu J., Bohlen S.R., Ernst W.G. 1996: Stability of hydrous phases in subducting oceanic crust. *Earth Planet. Sci. Lett.* **143**: 161-171.
- McCulloch M.T., Gamble J.A. 1991: Geochemical and geodynamical constraints on subduction zone magmatism. *Earth Planet. Sci. Lett.* **102**: 358-374.
- Meen J.K. 1990: Elevation of potassium content of basaltic magmas by fractional crystallization: the effect of pressure. *Contrib. Mineral. Petrol.* **104**: 309-331.
- Meen J.K. 1987: Formation of shoshonites from calc-alkaline basalt magmas: geochemical and experimental constraints from the type locality. *Contrib. Mineral. Petrol.* **97**: 333-351.
- Mohajjel M., Fergusson C.L., Sahandi M.R. 2003: Cretaceous-Tertiary convergence and continental collision, Sanandaj-Sirjan zone, western Iran. *J. Asian. Earth. Sci.* **21**: 397-412.
- Morris J.D., Hart S.R. 1983: Isotopic and incompatible element constraints on the genesis of island arc volcanics from Cold Bay and Amak Islands, Aleutians, and implications for mantle structure. *Geochim. Cosmochim. Act.* **47**: 2015-2030.
- Morrison G.W. 1980: Characteristics and tectonic setting of the shoshonitic rocks association. *Lithos* **13**: 97-108.
- Muller D., Groves D.I. 1993: Potassic igneous rocks and associated gold-copper mineralization. *Springer-Verlag, Berlin*, 225p.

- Pearce J.A. 1983: Role of the sub-continental lithosphere in magma genesis at destructive plate margins. In: Hawkesworth C.J., Norry M.J. (Eds.), *Continental basalts and Mantle Xenolithes*.
- Peccerillo A., Poli G., Tolomeo L. 1984: Genesis, evolution and tectonic significance of K-rich volcanic rocks from the Alban Hills (Roman comagmatic region) as inferred from trace element geochemistry. *Contrib. Mineral. Petrol.* **86**: 230-240.
- Peccerillo A., Taylor S.R. 1976: Geochemistry of Eocene calc-alkaline volcanic rocks from the Kastamonu area, northern Turkey. *Contrib. Mineral. Petrol.* **58**: 63-81.
- Pognant U. 1990: Shoshonitic and ultrapotassic post-collisional dikes from northern Karakorum (Sinkiang, China). *Lithos* **26**: 305-316.
- Rapp R.P., Watson E.B. 1995: Dehydration melting of metabasalt at 8-32 kbar: implications for continental growth and crust-mantle recycling. *J. Petrol.* **36**: 891-931.
- Rio Tinto Ltd. 2001: Structural interpretation of the Kerman belt, Iran. *Unpublished report of National Iranian Copper Industries Company*, 15p.
- Rio Tinto Ltd. 2000: Interpretation of LANDSAT TM imagery, Kerman region, Iran. *Unpublished report of National Iranian Copper Industries Company*, 42p.
- Rollinson H. 1993: Using geochemical data: Evaluation, presentation, interpretation. *Harlow, UK, Longman*, 352 p.
- Seghedi I., Downes H., Szakacs A., Mason P.R.D., Thirlwall M.F., Rosu E., Peckay Z., Marton E., Panaiotu C. 2004: Neogene-Quaternary magmatism and geodynamics in the Carpathian-Pannonian region: a synthesis. *Lithos* **72**: 117-146.
- Ninkovich D., Hayes J.D. 1972: Mediterranean island arcs and origin of high potash volcanoes. *Earth Planet. Sci. Lett.*, **16**: 331-345.
- Shafiei B., Haschke M., Shahabpour J. 2009: Recycling of orogenic arc crust triggers porphyry Cu-mineralization in Kerman Cenozoic arc rocks, southeastern Iran. *Miner. Deposit.* **44**: 265-283.
- Shafiei B., Shahabpour J., Haschke M. 2008a: Transition from Paleogene normal cala-alkaline to Neogene adakitic-like plutonism and Cu-metallogeny in the Kerman porphyry copper belt: Response to Neogene crustal thickening. *J. Sciences. I.R. Iran.*, **19**: 67-84.
- Shahabpour J. 2007: Island-arc affinity of the Central Iranian Volcanic Belt. *J. Asian. Earth. Sci.* **30**: 652-665.
- Sun S.S., McDonough W.F. 1989: Chemical and isotopic systematics of oceanic basalts: implications for mantle composition and processes. In: Saunders A.D., Norry M.J. (Eds.), *Magma in ocean basins*. *Geol. Soc. London. Spec. Pub.*, **42**: 313-345.
- Takin M. 1972: Iranian geology and continental drift in the Middle East. *Nature* **235**: 147-150.
- Tatsumi Y., Kogiso T. 1997: Trace element transport during dehydration processes in the subducted oceanic crust: 2. Origin of chemical and physical characteristics in arc magmatism. *Earth Planet. Sci. Lett.* **148**: 207-221.
- Tatsumi Y., Koyaguchi T. 1989: An absarokite from a phlogopite-lherzolite source. *Contrib. Mineral. Petrol.* **102**: 34-40.
- Tatsumi Y., Hamilton D.L., Nesbitt R.W. 1986: Chemical characteristics of fluid phase released from a subducted lithosphere and origin of arc magmas: evidence from high-pressure experiments and natural rocks. *J. Volcan. Geotherm. Res.*, **29**: 293-309.
- White W.M., Dupre B. 1986: Sediment subduction and magma genesis in Lesser Antilles: isotopic and trace element constraints. *J. Geophys. Res.* **91**: 5927-5941.
- White W.M., Patchett J. 1984: Hf-Nd-Sr isotopes and incompatible element abundances in island arc: implications for magma origins and crust-mantle evolution. *Earth Planet. Sci. Lett.* **67**: 167-185.
- Wilson M. 1989: Igneous Petrogenesis: A Global Tectonic Approach. London, Unwin Hyman, 466p.
- Woodhead J., Eggins S., Gamble J. 1993: High field strength and transition element systematics in island arc and back-arc basin basalts: evidence for multi-phase melt extraction and depleted mantle wedge. *Earth Planet. Sci. Lett.* **114**: 491-504.
- You C.F., Castillo P.R., Gieskes J.M., Chan L.H., Spivack A.J. 1996: Trace element behaviour in hydrothermal experiments: implications for fluid processes at shallow depths in subduction zones. *Earth Planet. Sci. Lett.* **140**: 41-52.
- Zindler A., Hart S.R. 1986: Chemical geodynamics. *Ann. Rev. Earth Planet. Sci.* **14**: 493-571.